

El problema de los tres cuerpos en la geometría intrínseca del plano

Autor: Juan Francisco Alférez Muñoz
Director: Dr. Rodrigo Gonçalves Schaefer

15/11/2022



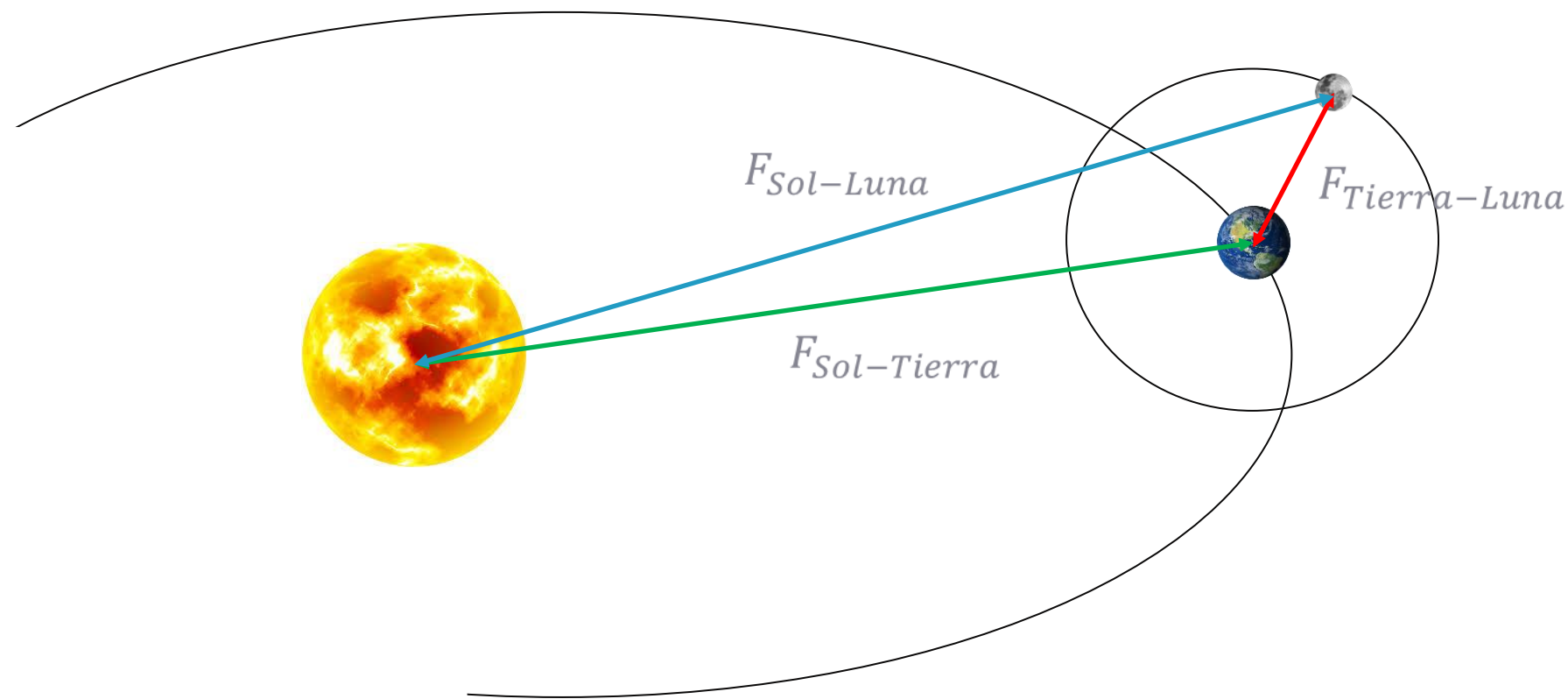
ÍNDICE

- 01 - Introducción
- 02 - Objetivo
- 03 - Estado del Arte
- 04 - Desarrollo
- 05 - Resultados
- 06 - Conclusiones y trabajos futuros

01 - Introducción

Problema general

El problema de los tres cuerpos es uno de los sistemas dinámicos mas estudiados – Un ejemplo es el sistema Sol-Tierra-Luna



- Misiones espaciales
- Trayectorias
- Descubrimiento de nuevos astros

| 01 - Introducción

Problema estudiado

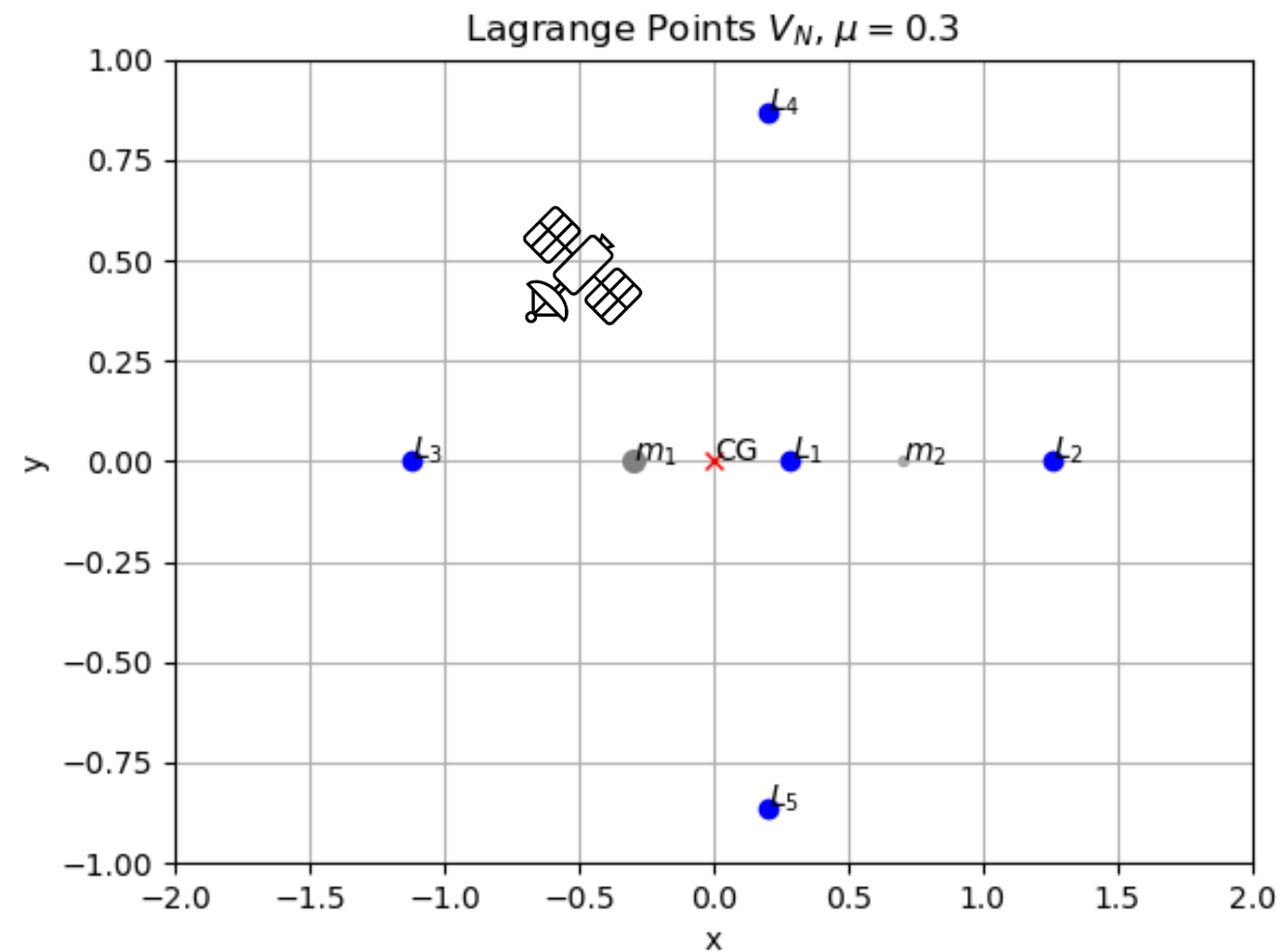
Problema circular restringido de los tres cuerpos: CR3BP (Circular Restricted Three Bodies Problem) – Problema de los tres cuerpos con simplificaciones

- Órbitas **coplanarias** (movimiento en el plano).
- La masa del **tercer cuerpo despreciable** respecto a los otros dos.
- Órbitas **circulares** respecto al centro de masas del Sistema de los **cuerpos principales**.
- Los cuerpos se simulan como **masas puntuales**.

02 - Objetivo

Problema estudiado

Interesante aplicación en el espacio – Órbitas de satélites artificiales en sistemas con dos cuerpos principales



- Puntos de equilibrio o puntos de Lagrange (L1, L2, L3, L4, L5)
- Cuerpos principales (m_1, m_2)
- ¿Estabilidad?
- ¿Órbitas acotadas?

02 - Objetivo

Comparación Potenciales

El objetivo de este trabajo es el estudio y la comparación de un modelo CR3BP utilizando dos modelos de potenciales: Newtoniano vs logarítmico

Newtoniano: modelo clásico

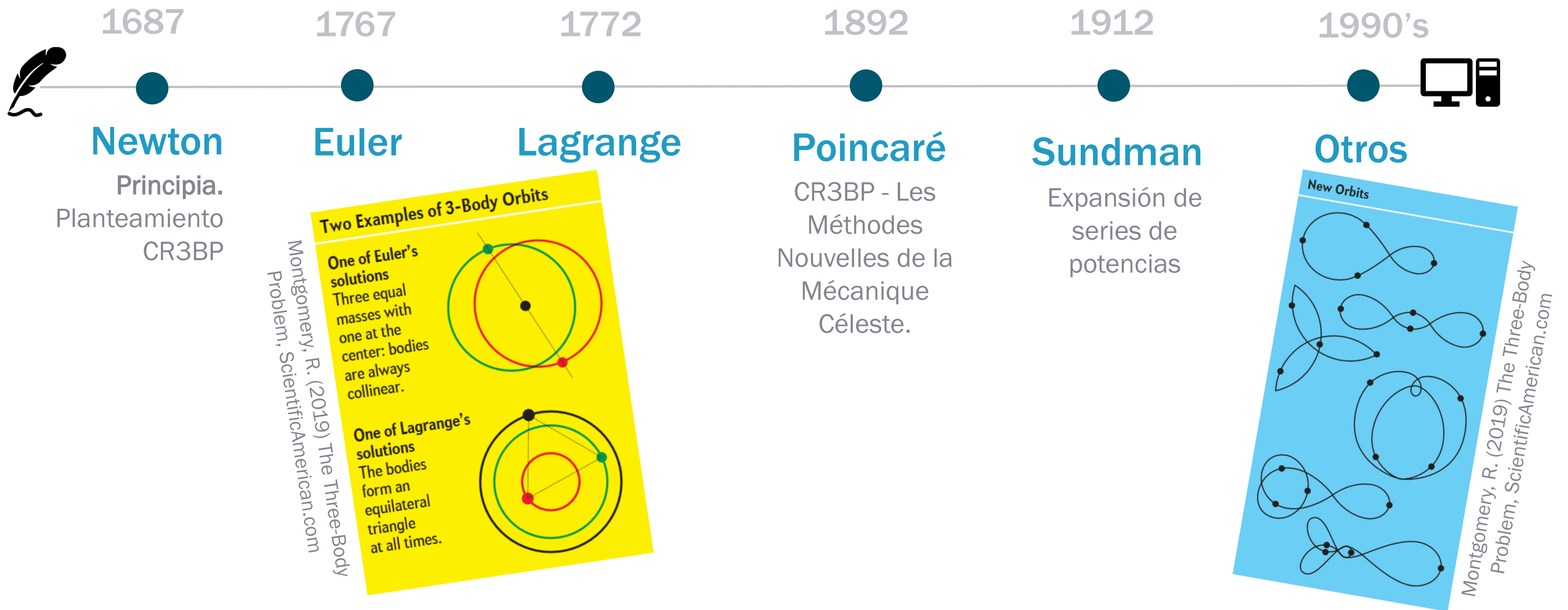
$$V_N \approx \frac{1}{r} \rightarrow F_N \approx \frac{1}{r^2}$$

Logarítmico: modelo utilizado más para el estudio de galaxias

$$V_L \approx \log r \rightarrow F_L \approx \frac{1}{r}$$

03 - Estado del arte

Un poco de historia



04 - Desarrollo

Potencial gravitatorio

Definiendo un campo potencial del que bien la fuerza gravitacional.

- Campo de fuerzas atractor:

$$\left. \begin{array}{l} \nabla \cdot \mathbf{E}_g = -c\rho_g \\ \nabla \times \mathbf{E}_g = 0 \end{array} \right\} \mathbf{E}_g = -\nabla\varphi_g$$

- Potencial irrotacional:

$$\nabla \cdot (-\nabla\varphi_g) = -c\rho_g$$

- El potencial gravitatorio, resulta finalmente de resolver la ecuación de Poisson:

$$\Rightarrow \Delta\varphi_g = c\rho_g$$

- Condiciones de contorno de desvanecimiento:

$$\nabla\varphi \rightarrow 0 \text{ cuando } ||r|| \rightarrow \infty$$

- Buscando la solución fundamental y resolviendo se obtiene:

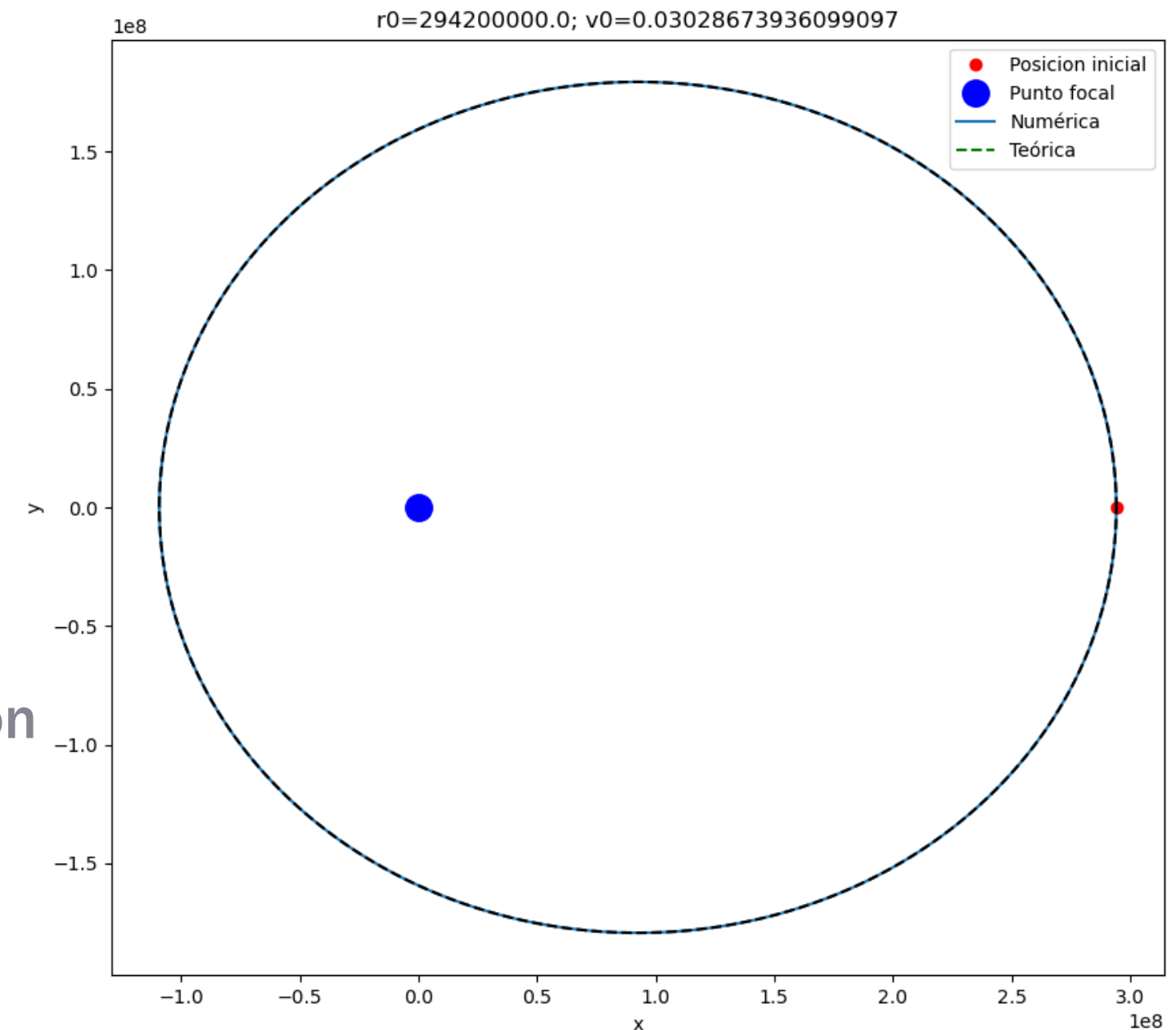
$$\begin{aligned} \Gamma(r, r_0) &= -\frac{1}{2\pi} \log(||r - r_0||) \text{ cuando } n = 2 \\ &= \frac{1}{n(n-2)\alpha(n)} \frac{1}{||r - r_0||^{n-2}} \text{ cuando } n \geq 3 \end{aligned}$$

04 - Desarrollo

Problema de los dos cuerpos

Problema clásico del movimiento de dos cuerpos en el espacio – Sólo les afecta la fuerza de la gravedad entre ellos.

- Sólo les afecta la fuerza gravitacional
- Se conserva la cantidad de movimiento y el momento angular \rightarrow movimiento en el plano
- Cuenta con solución analítica
- Las soluciones numéricas se pueden validar con la solución analítica



04 - Desarrollo

Problema de los tres cuerpos

Problema que estudia el movimiento de tres cuerpos en el espacio – Sólo les afecta la fuerza de la gravedad entre ellos.

- Sólo les afecta la **fuerza gravitacional**.
- Se han descubierto muchas **órbitas periódicas** bajo ciertas condiciones, y se espera que haya muchas mas.
- Por el momento, **no cuenta con solución analítica**.
- Actualmente se resuelve **numéricamente**.

04 - Desarrollo

CR3BP, Problema de los tres cuerpos simplificado

Problema que estudia el movimiento de tres cuerpos en el espacio con ciertas restricciones

– Dada la complejidad del sistema, se estudia en un caso concreto, conocido como problema circular restringido de los tres cuerpos, CR3BP (Circular Restricted Three body Problem).

- Asumimos que hay un **tercer cuerpo de masa despreciable**, llamamos a los otros dos “**principales**”.
- Los cuerpos principales se mueven en **órbitas circulares** alrededor del centro de masa del sistema.
- Dado que la masa del tercer cuerpo es despreciable, éste no afecta al movimiento de los principales.
- El tercer cuerpo está a merced del campo potencial que describen los cuerpos principales.

04 - Desarrollo

Adimensionalización y ejes rotativos

Variables:

$$G = 1 \quad t' = \sqrt{\frac{d^3}{G M_{TOTAL}}}$$

Masas:

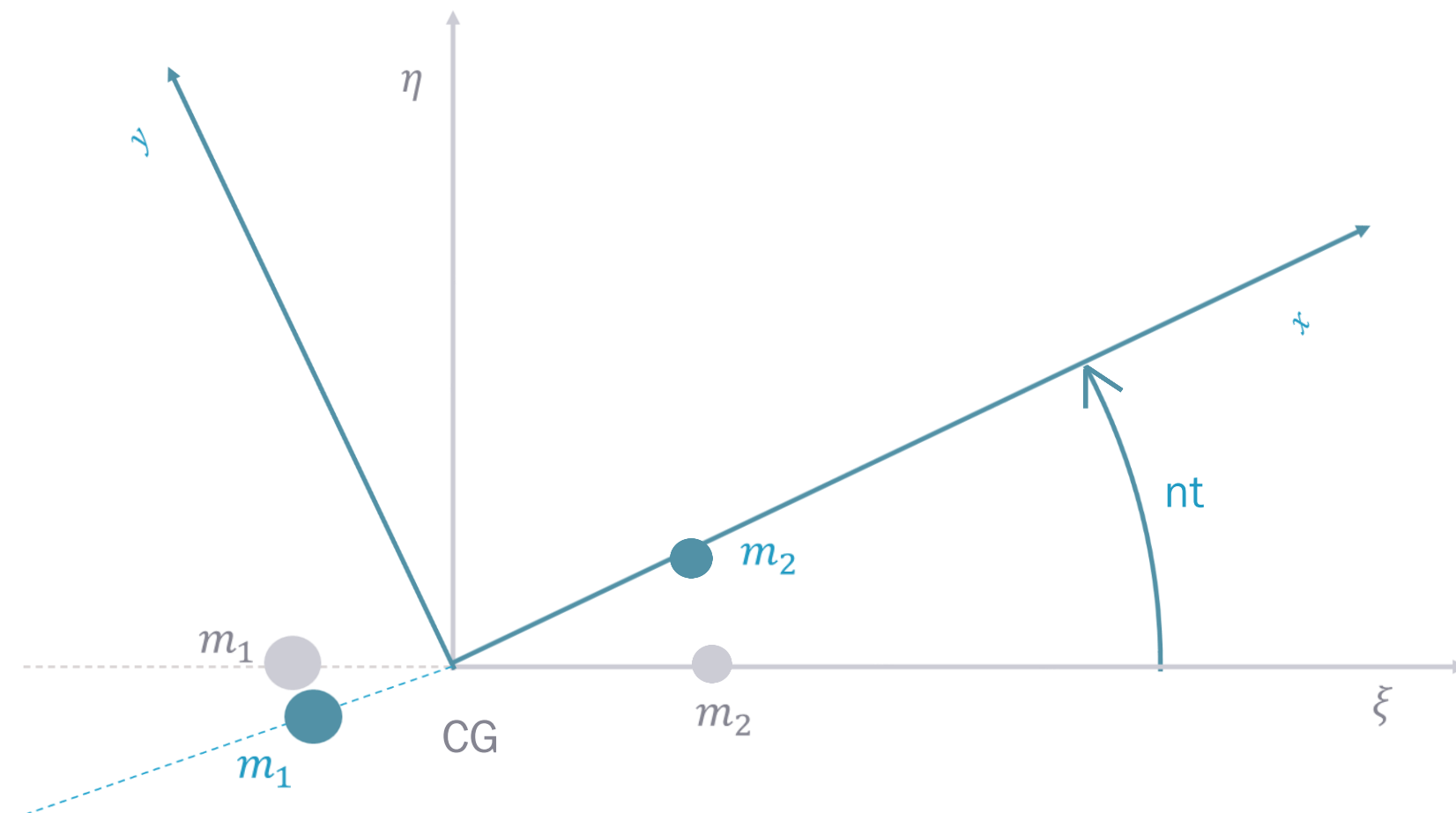
$$\mu = \frac{m_2}{m_1 + m_2} < \frac{1}{2}$$

$$\mu_1 = 1 - \mu \quad \mu_2 = \mu$$

Posiciones:

$$(x_1, y_1, z_1) = (-\mu_2, 0, 0)$$

$$(x_2, y_2, z_2) = (\mu_1, 0, 0)$$



04 - Desarrollo

Ecuaciones del movimiento

Sistema dinámico:

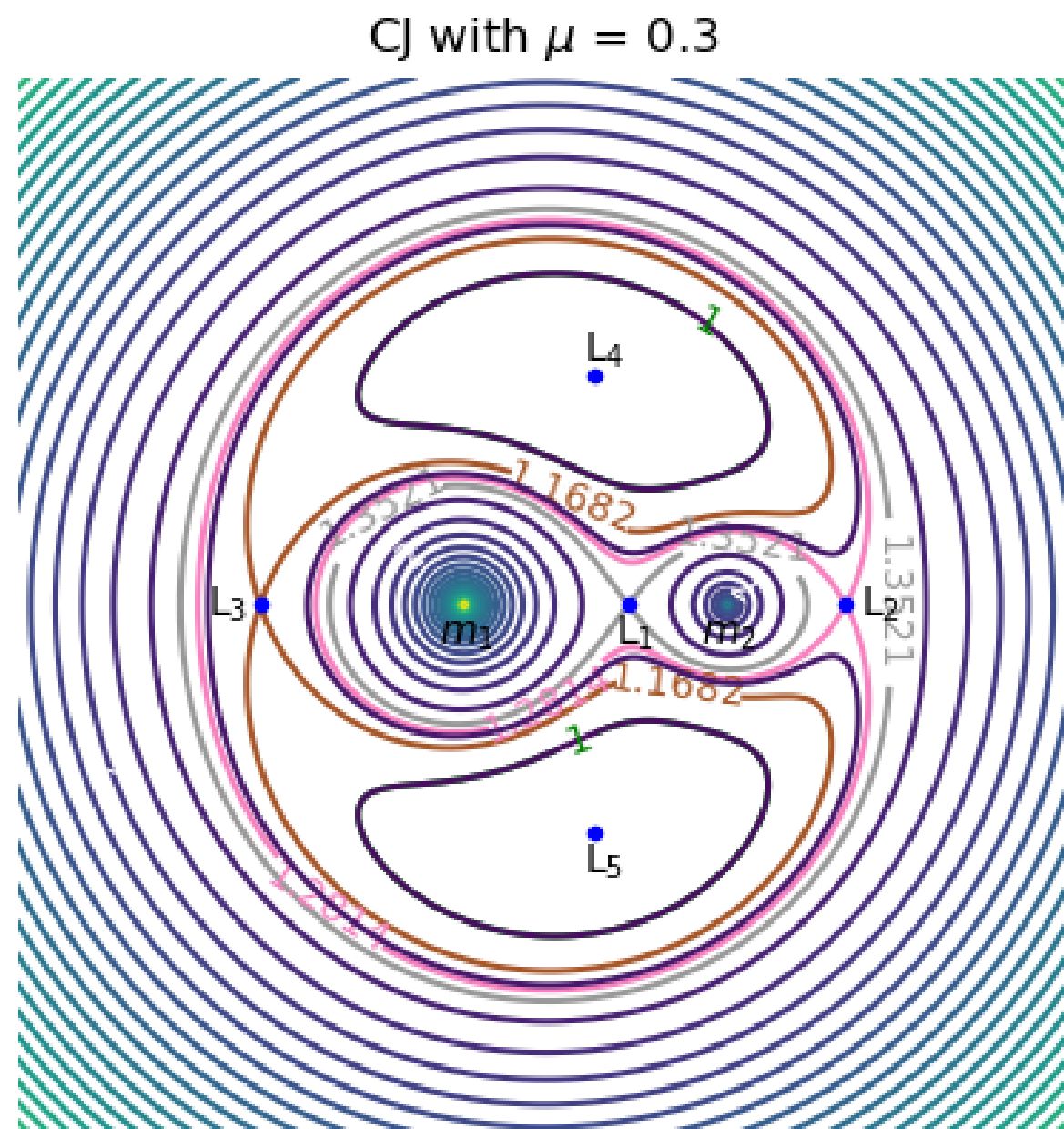
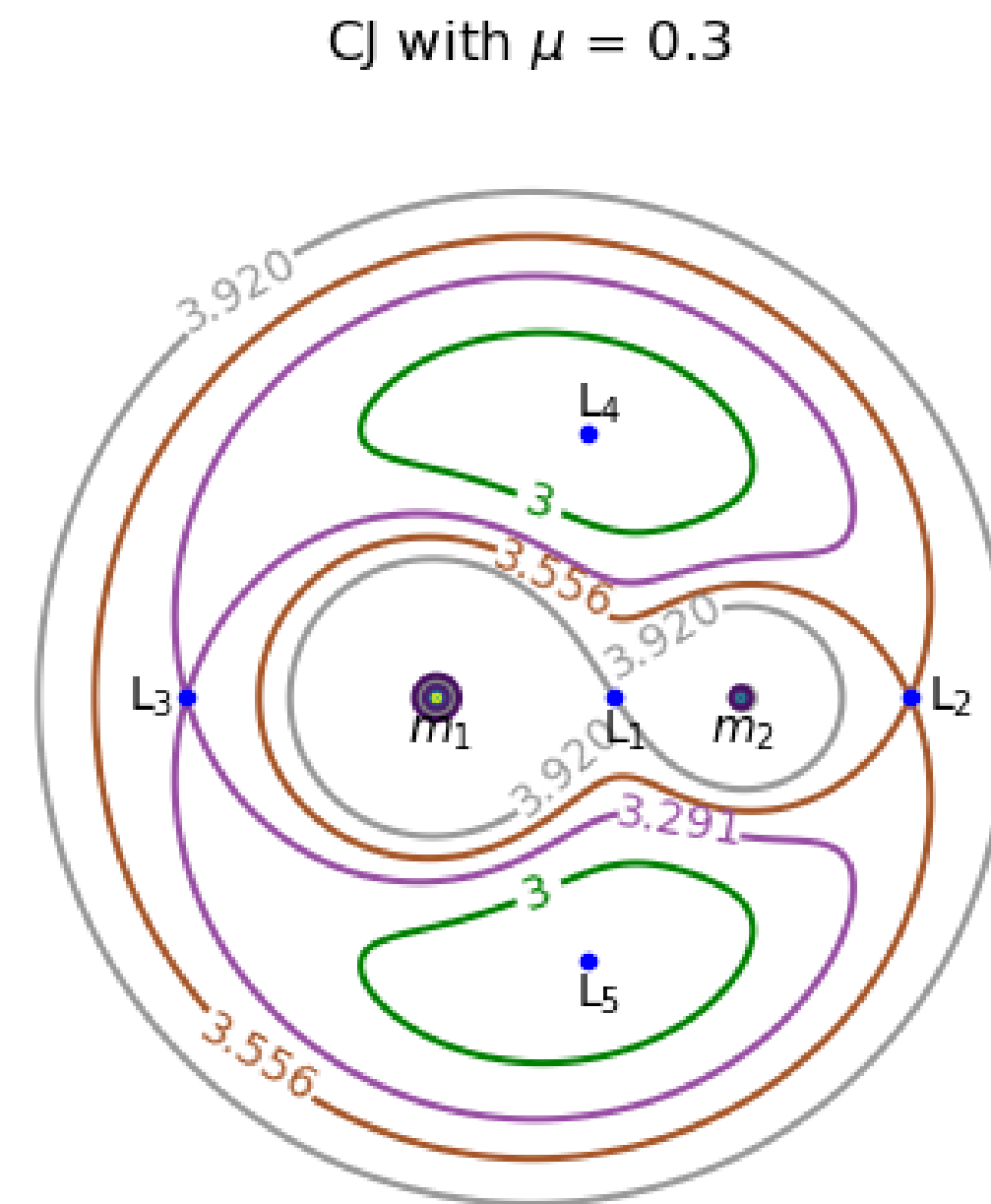
$$\begin{cases} \ddot{x} - 2n\dot{y} = \frac{\partial V}{\partial x} \\ \ddot{y} + 2n\dot{x} = \frac{\partial V}{\partial y} \\ \ddot{z} = \frac{\partial V}{\partial z} \end{cases} \longrightarrow \dot{x}\ddot{x} + \dot{y}\ddot{y} + \dot{z}\ddot{z} = \frac{\partial V'}{\partial x} \dot{x} + \frac{\partial V'}{\partial y} \dot{y} + \frac{\partial V'}{\partial z} \dot{z} \longrightarrow v^2 = 2V' - C_J$$

Pseudo-potencial
Constante de Jacobi

Como $v \geq 0$ la constante de Jacobi define unas regiones, niveles de energía, por donde es posible el movimiento.

04 - Desarrollo

Regiones de Hill

 $\text{Log}, C_J \in [1,2]$ 

Newton, $C_J \in [3,5]$

04 - Desarrollo

Estabilidad según el potencial

El potencial resultante cuenta con puntos de equilibrio – Los puntos de estabilidad o inestabilidad.

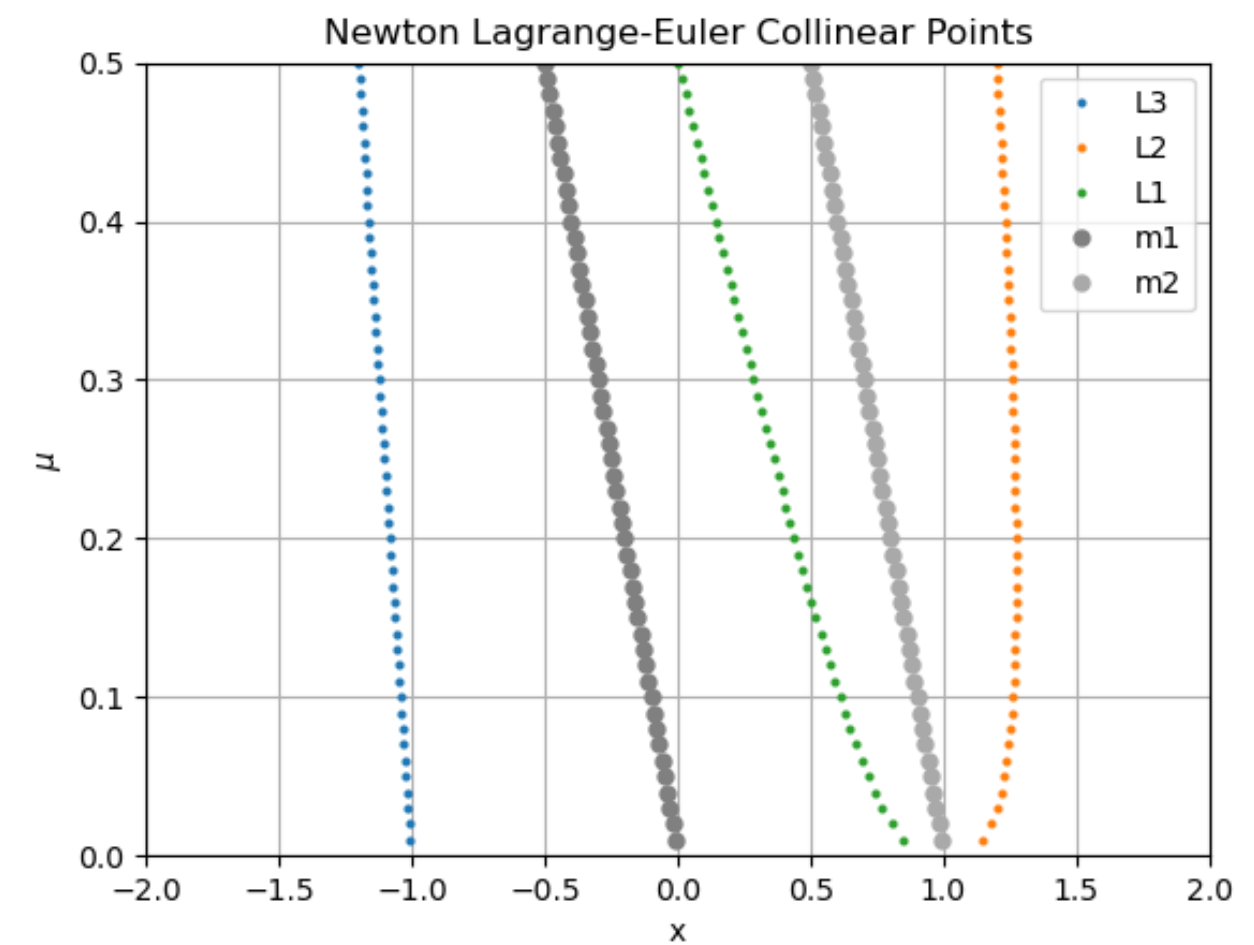
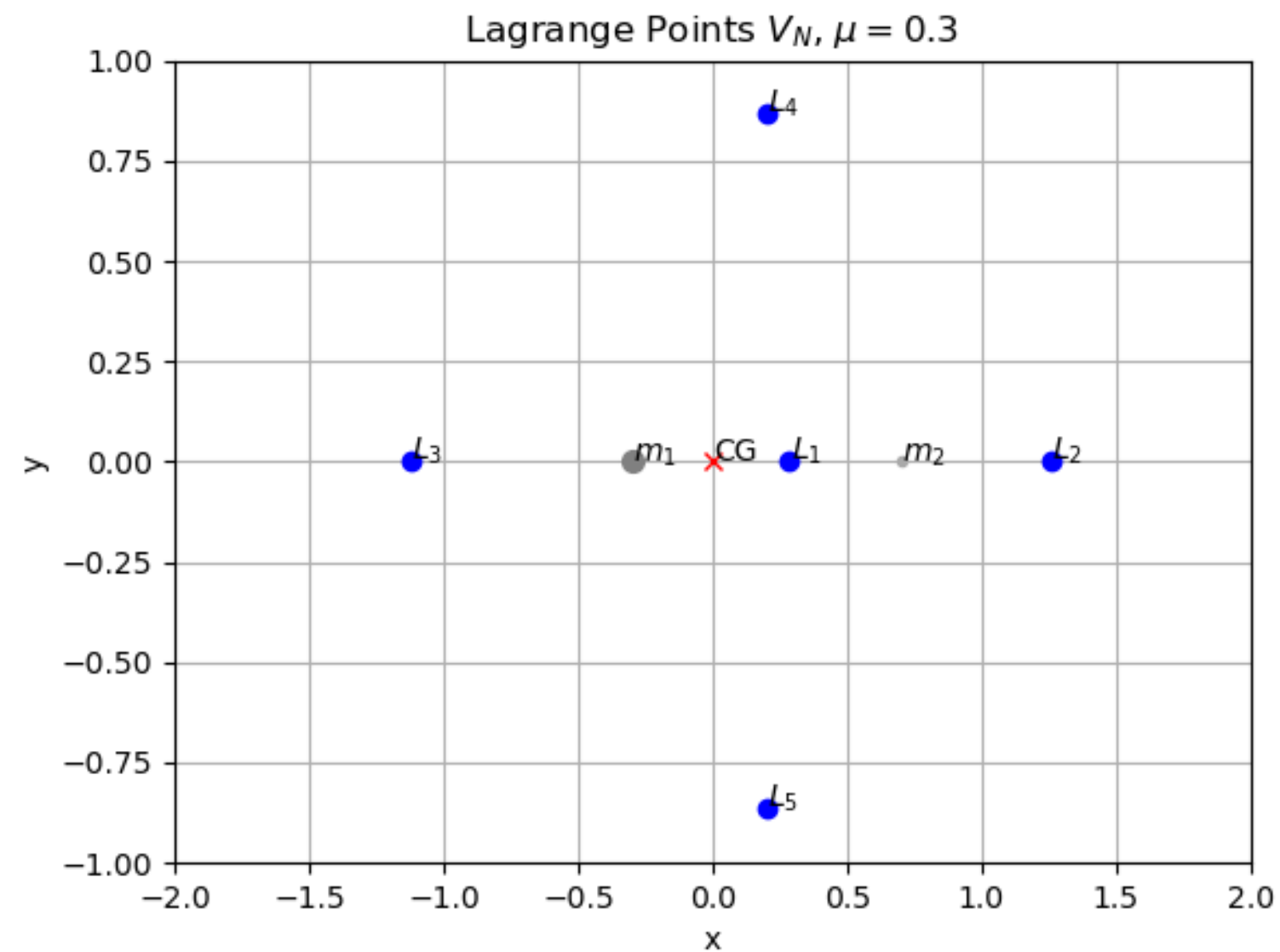
- El tercer cuerpo será atraído por las zonas de estabilidad, mientras que será repelido por las de inestabilidad.
- Los puntos de equilibrio los buscamos como zonas donde la variación del potencial sea cero.

$$\ddot{x} - 2\dot{y} = \frac{\partial V}{\partial x} \quad \ddot{y} + 2\dot{x} = \frac{\partial V}{\partial y}$$

04 - Desarrollo

Puntos de Lagrange

Puntos de equilibrio del potencial clásico – Dependerán del potencial y de la relación entre las masas, μ .



04 - Desarrollo

Estabilidad

Estabilidad cercana a los puntos de equilibrio – Dependerán del potencial y de la relación entre las masas, μ .

$$V(x, y) = V(x_e, y_e) + \frac{1}{2} \left(\frac{\partial^2 V}{\partial x^2} \right)_e (x - x_e)^2 + \left(\frac{\partial^2 V}{\partial x \partial y} \right)_e (x - x_e)(y - y_e) + \frac{1}{2} \left(\frac{\partial^2 V}{\partial y^2} \right)_e (y - y_e)^2$$

$$\xi = x - x_e, \quad \eta = y - y_e \quad \nabla \mathbf{V} \approx (V_{xx}\xi + V_{xy}\eta)\mathbf{e}_x + (V_{yy}\eta + V_{xy}\xi)\mathbf{e}_y$$

$$\begin{cases} \ddot{\xi} = V_{xx}\xi + 2\dot{\eta} + V_{xy}\eta \\ \ddot{\eta} = V_{yy}\eta - 2\dot{\xi} + V_{xy}\xi \end{cases} \quad \begin{matrix} \xi = \xi_0 e^{\lambda t} \\ \eta = \eta_0 e^{\lambda t} \end{matrix} \quad \begin{pmatrix} \lambda^2 - V_{xx} & -2\lambda - V_{xy} \\ 2\lambda - V_{xy} & \lambda^2 - V_{yy} \end{pmatrix} \begin{pmatrix} \xi_0 \\ \eta_0 \end{pmatrix} = \begin{pmatrix} 0 \\ 0 \end{pmatrix}$$

$$\lambda^4 + (4 - V_{xx} - V_{yy})\lambda^2 + (V_{xx}V_{yy} - V_{xy}^2) = 0$$

$$V_{xx}V_{yy} - V_{xy}^2 > 0 \quad (\text{cond 1})$$

$$4(V_{xx}V_{yy} - V_{xy}^2) < (4 - V_{xx} - V_{yy})^2 \quad (\text{cond 2})$$

04 - Desarrollo

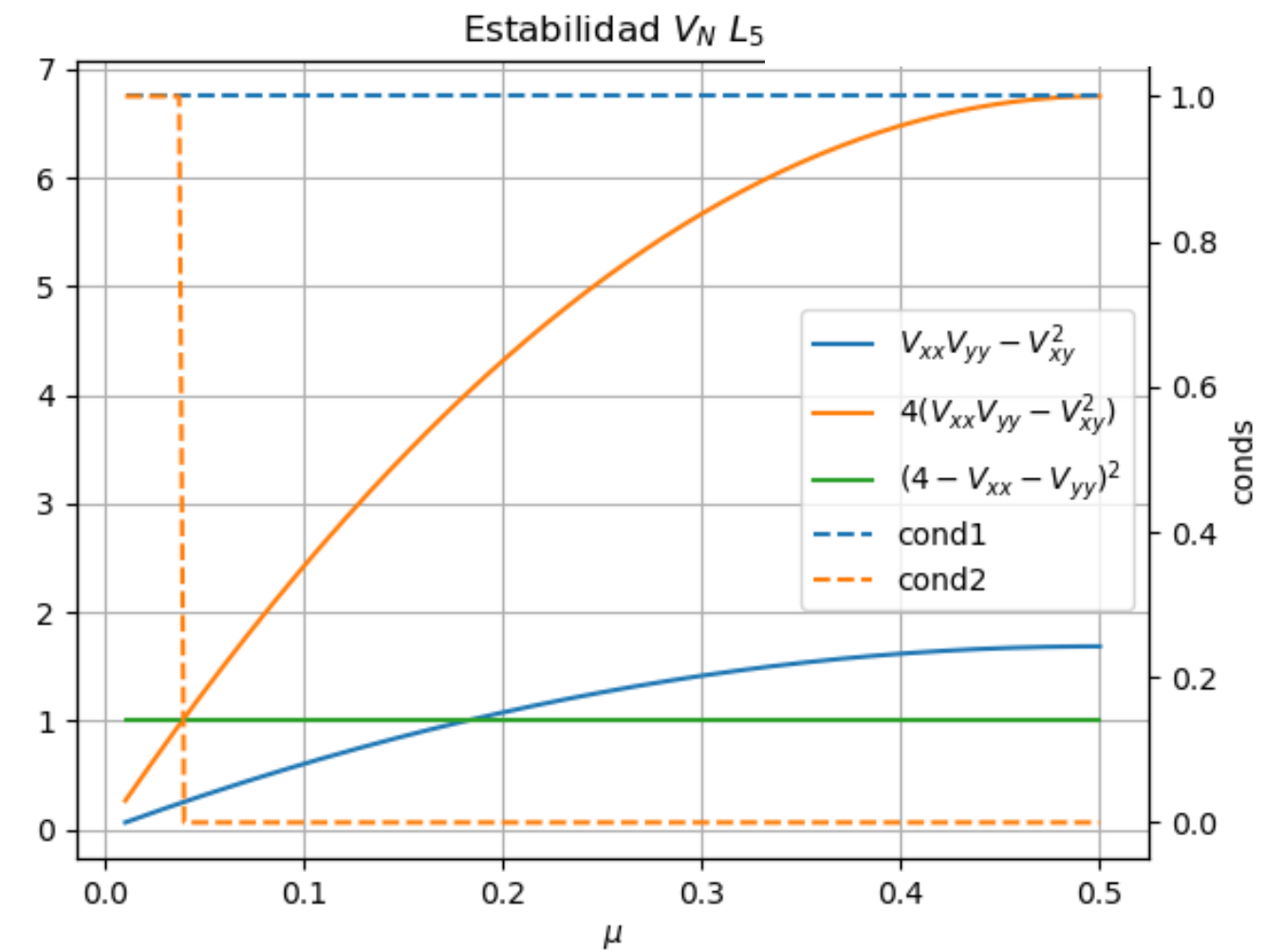
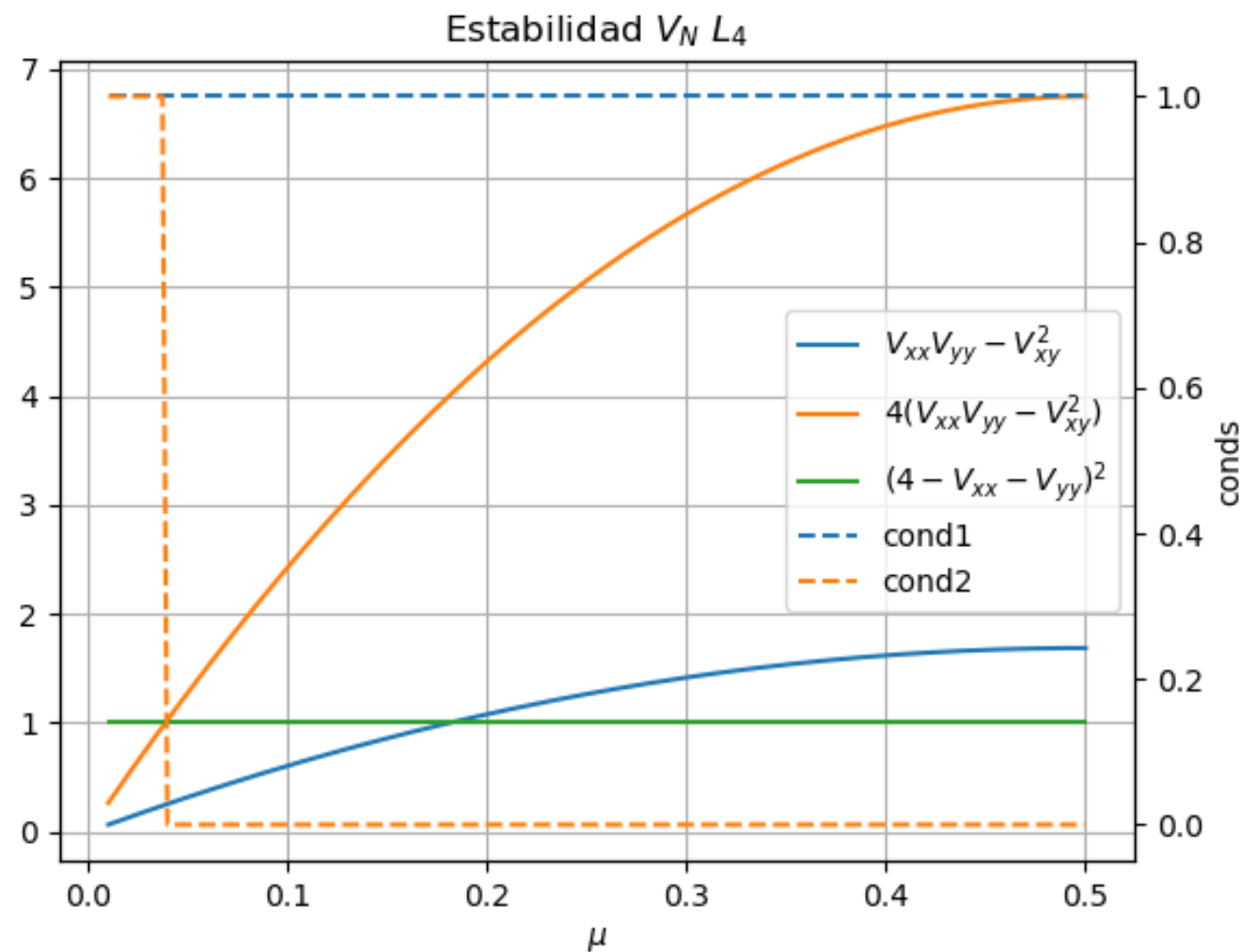
Estabilidad Potencial Clásico

Puntos colineales: L_1, L_2, L_3

No son puntos estables.

Puntos no colineales: L_4, L_5

Su estabilidad depende de μ . $\mu < \frac{9 - \sqrt{(69)}}{18} \approx 0,038$



04 - Desarrollo

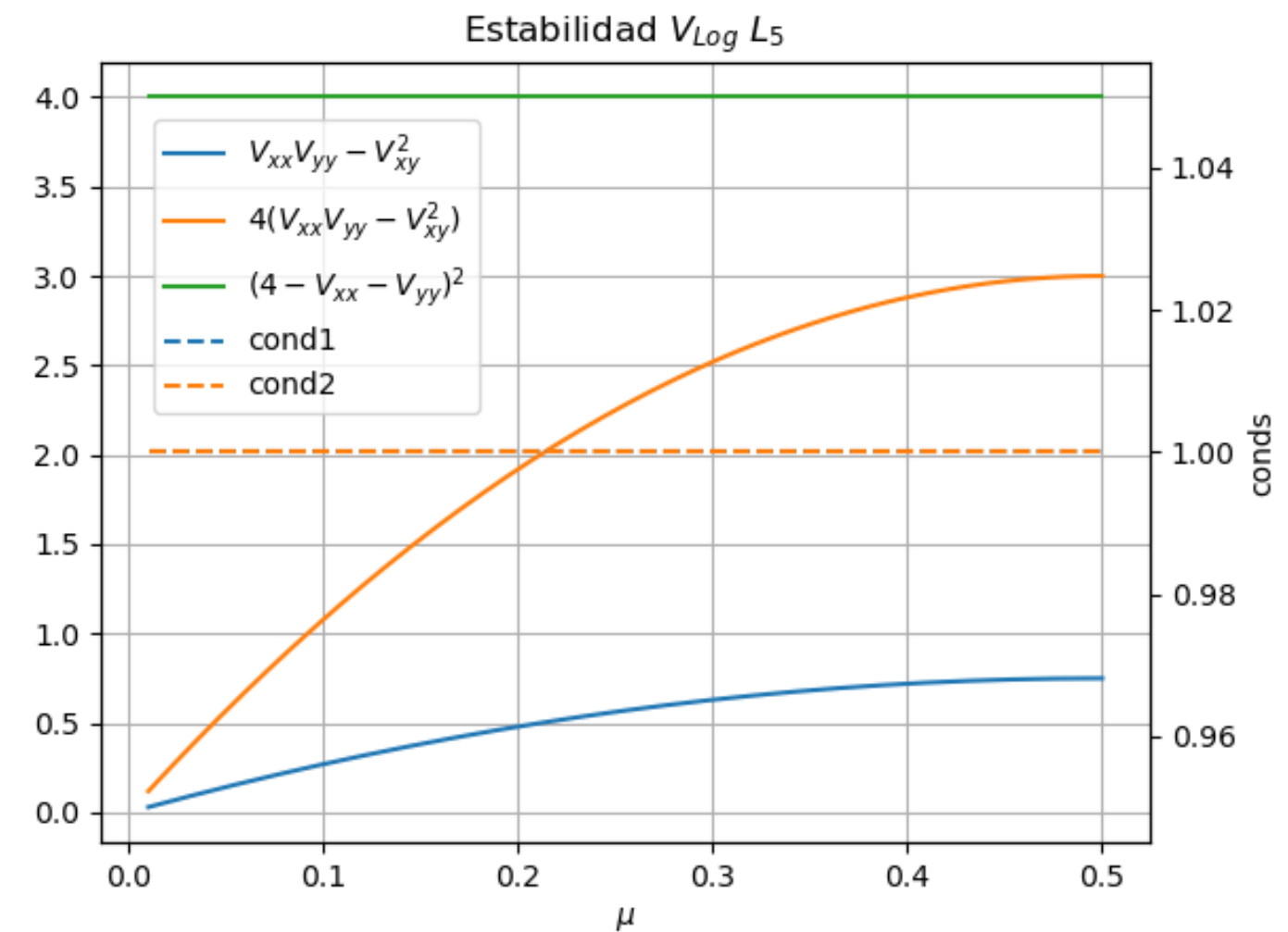
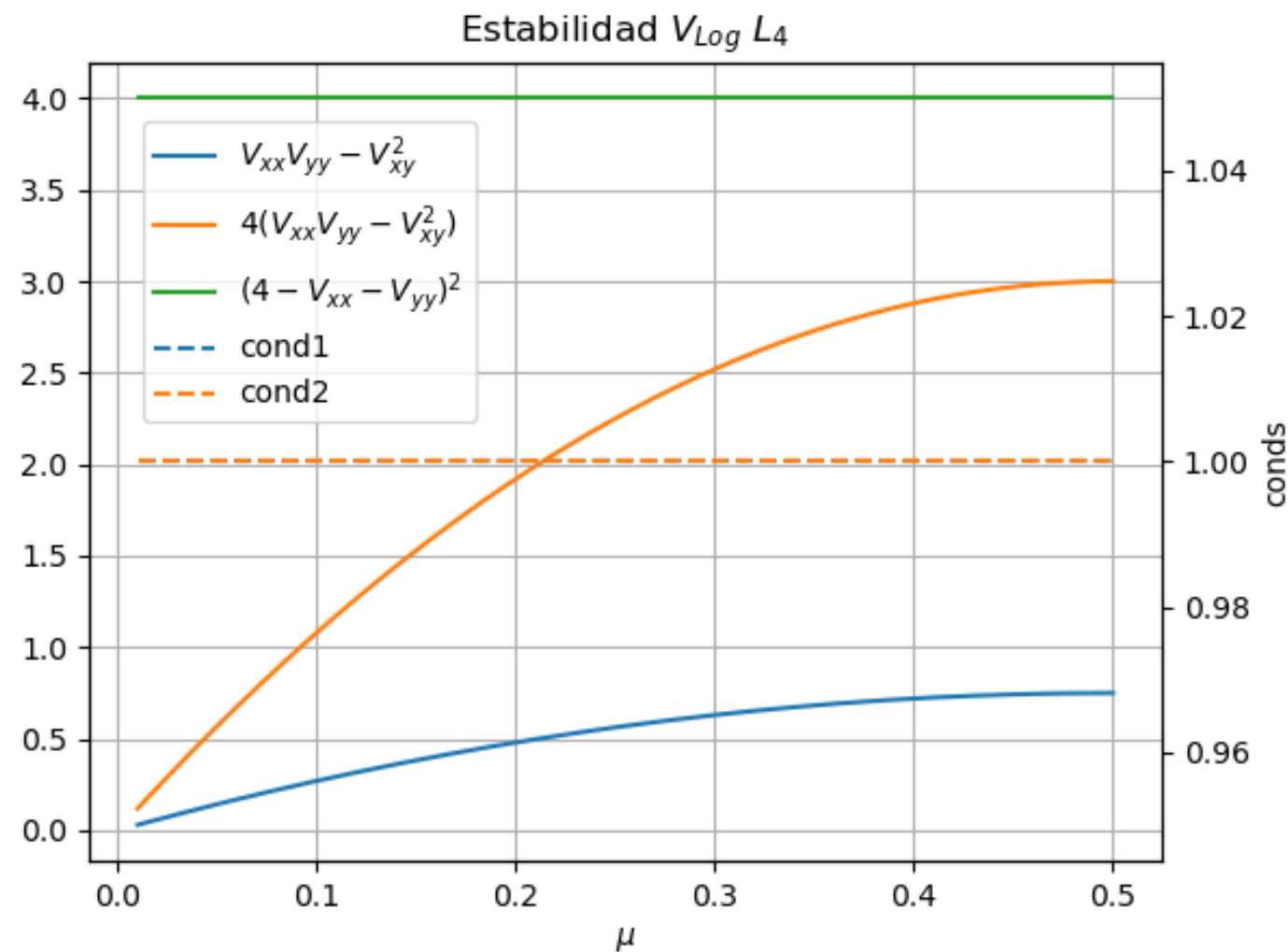
Estabilidad Potencial logarítmico

Puntos colineales: L_1, L_2, L_3

No son puntos estables.

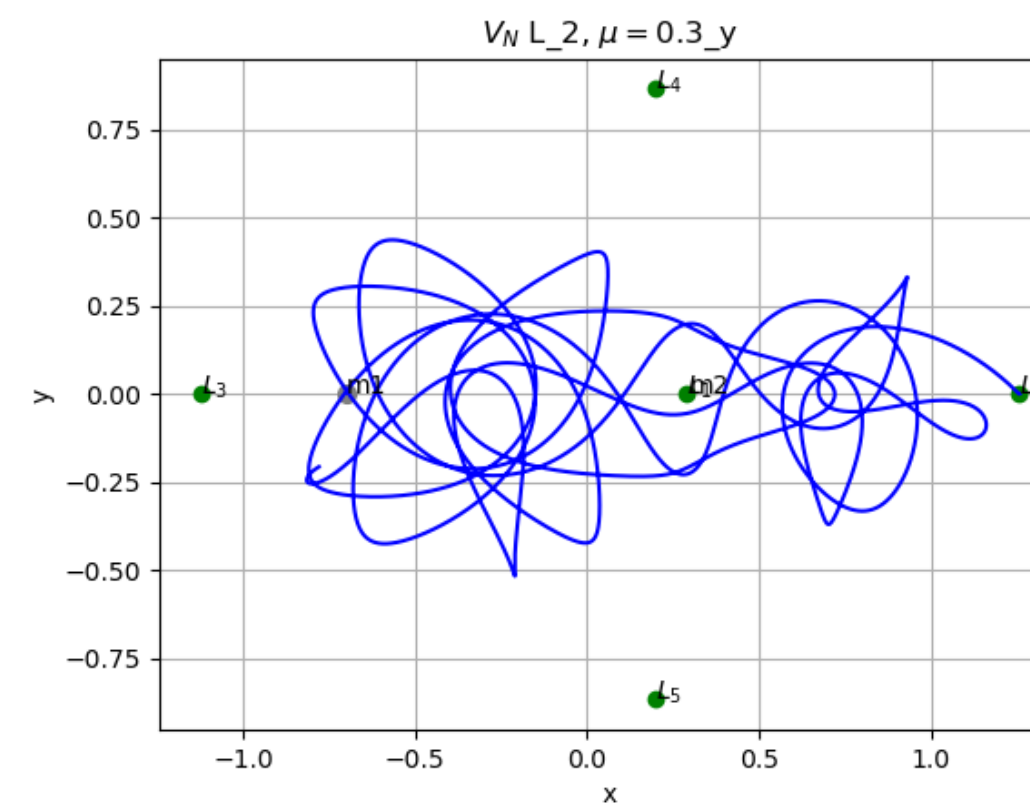
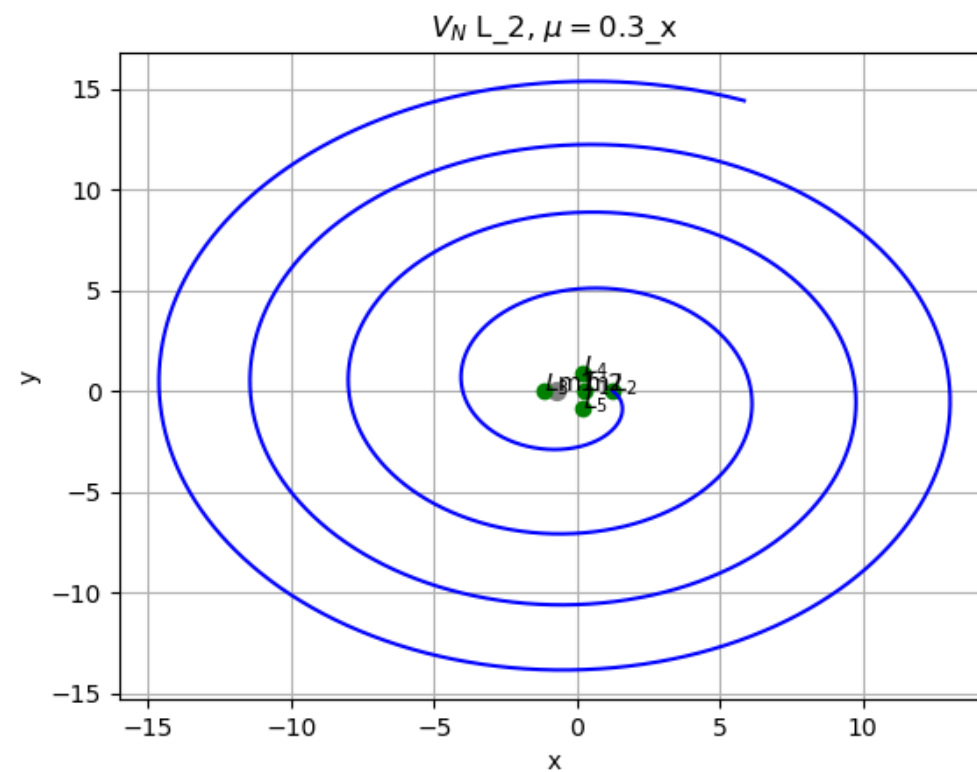
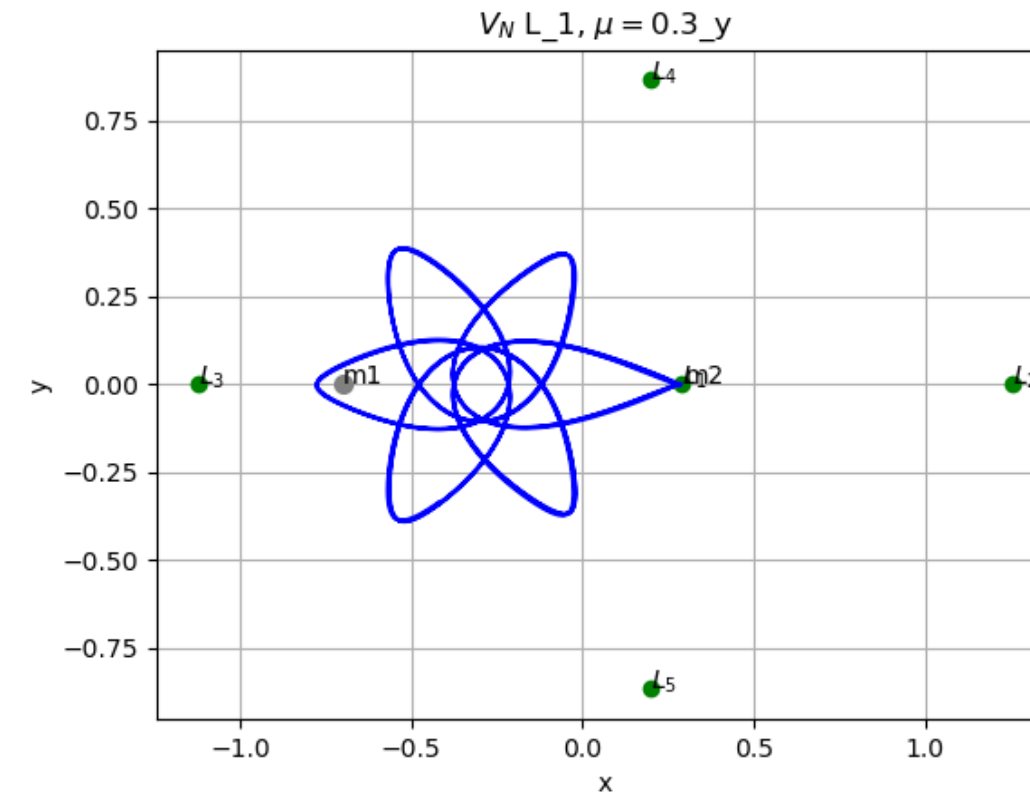
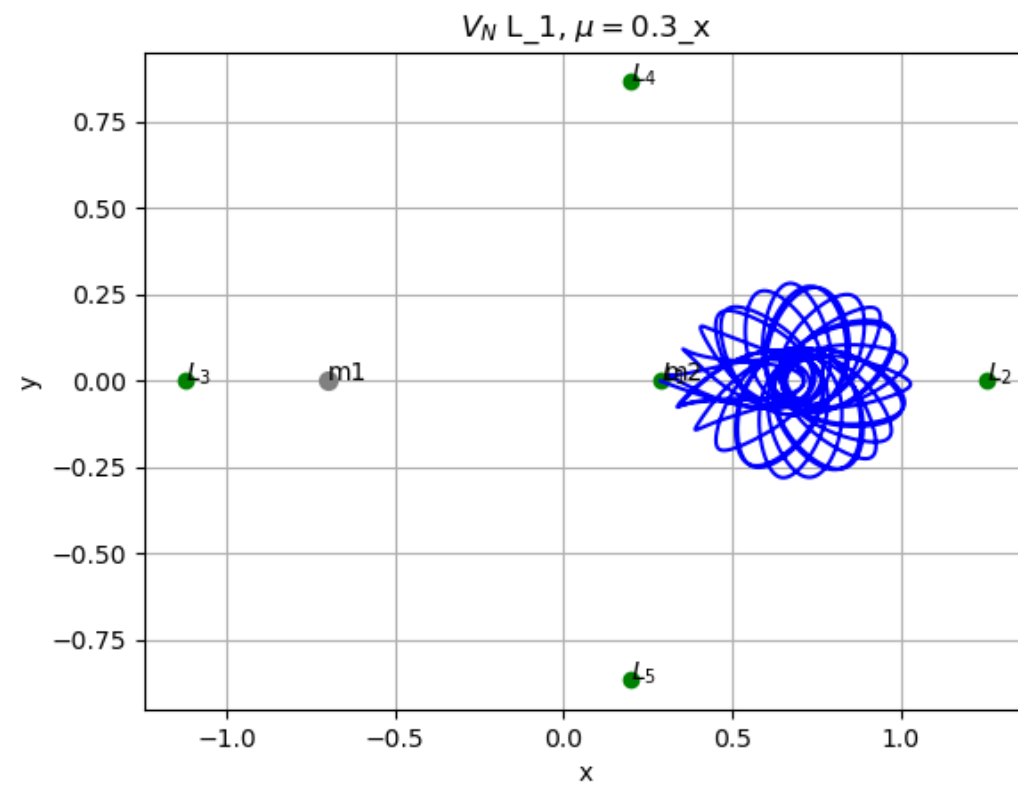
Puntos no colineales: L_4, L_5

Son puntos estables.



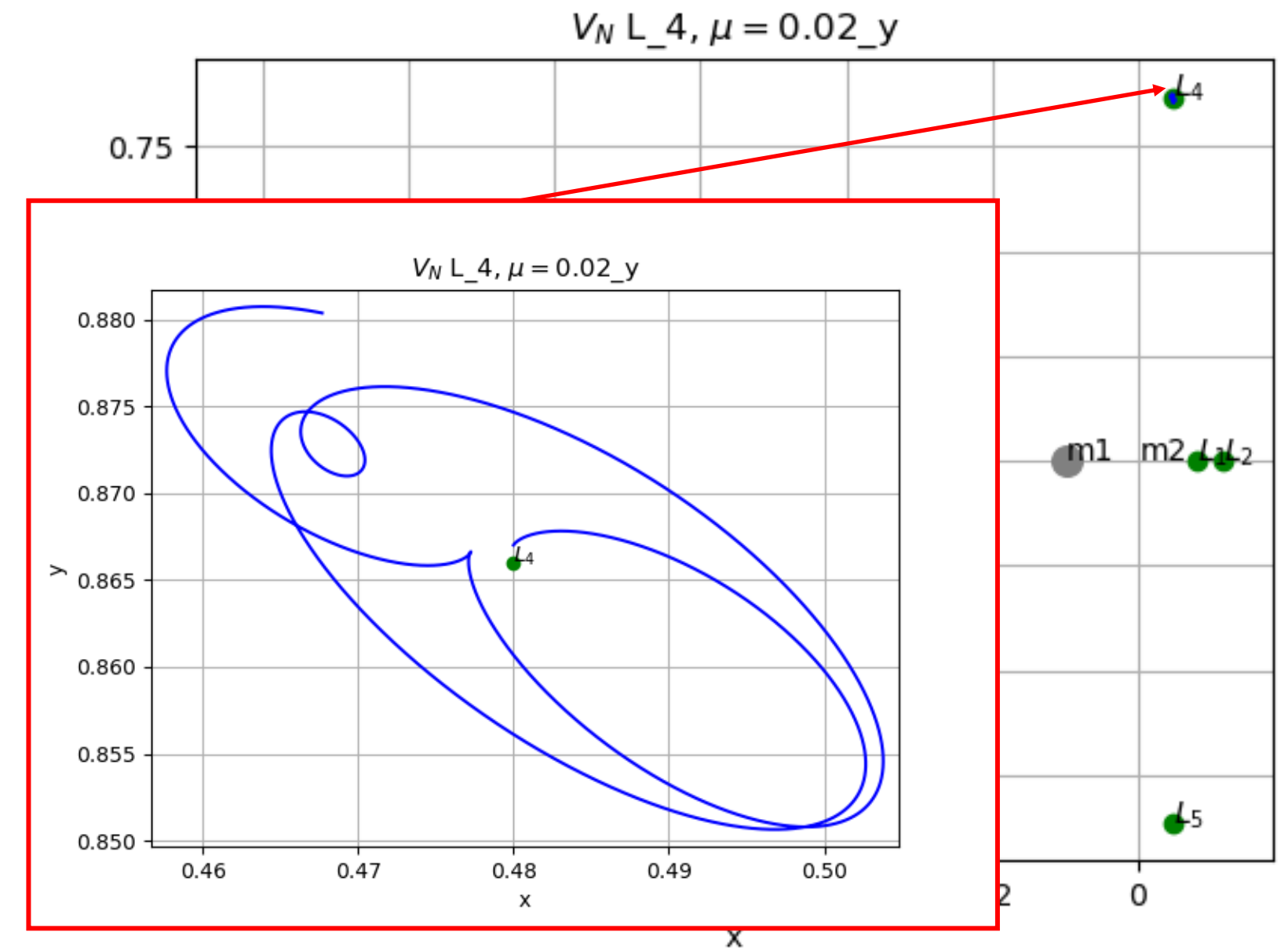
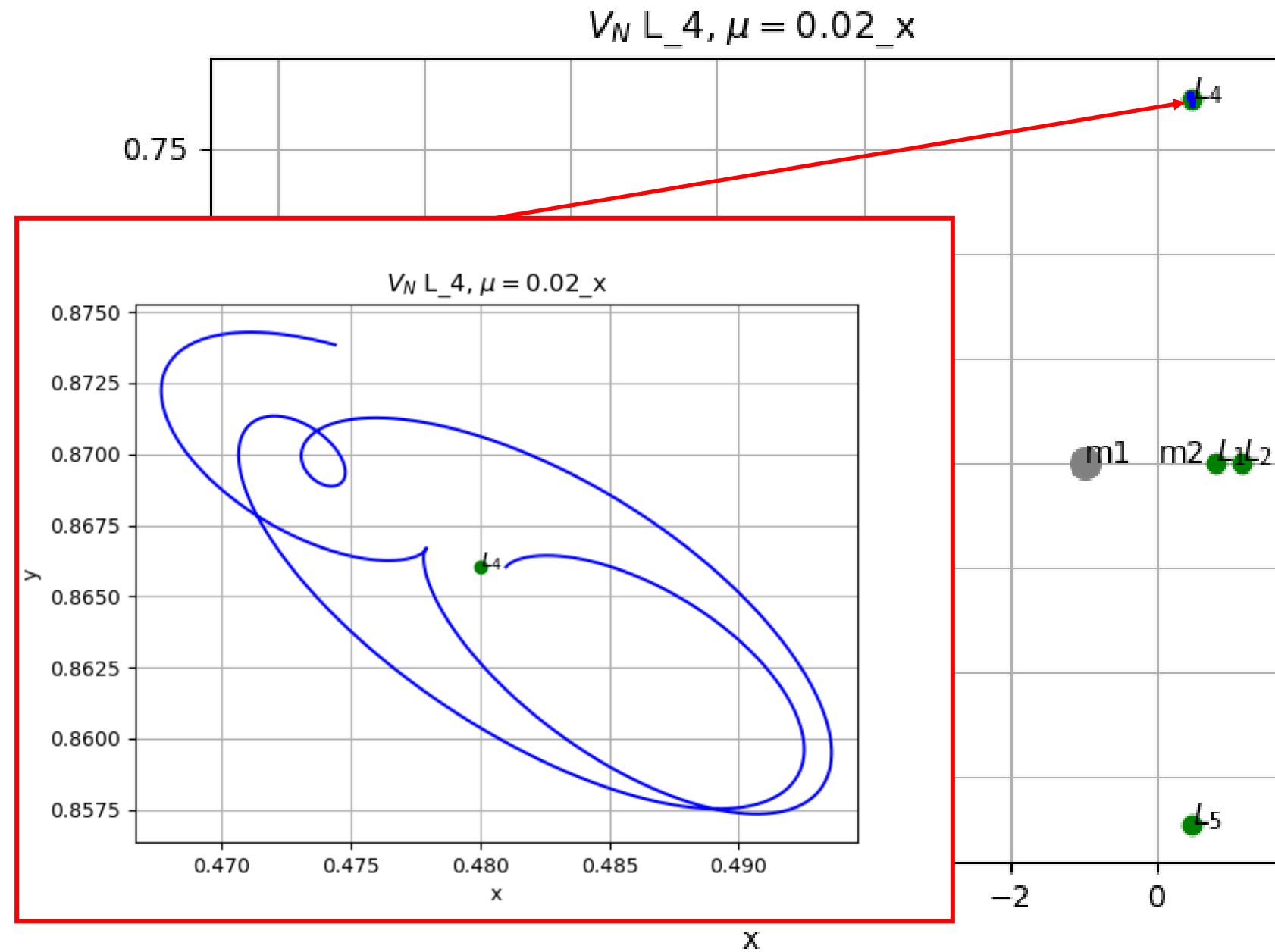
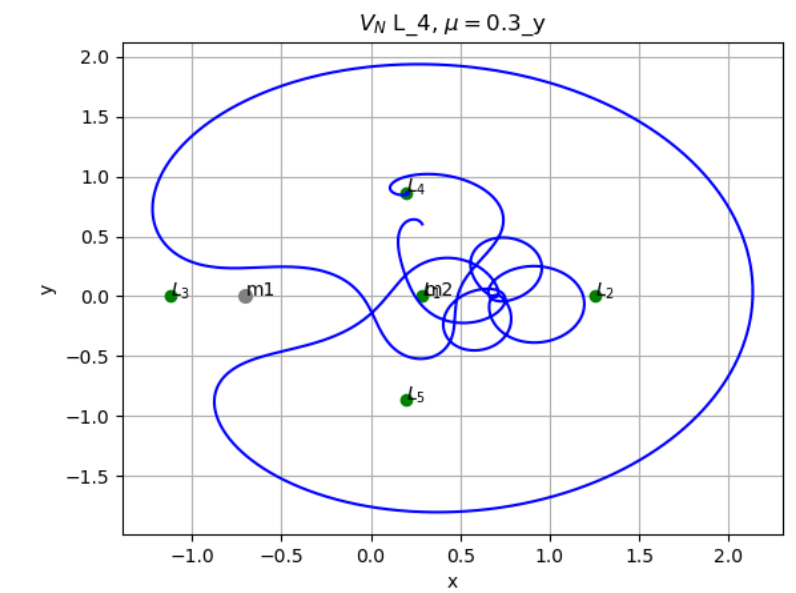
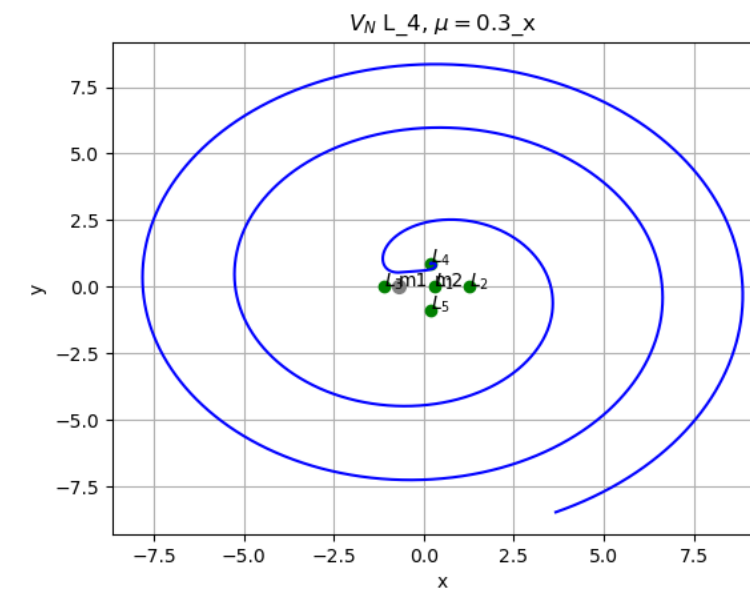
05 - Resultados

Simulación Potencial Clásico



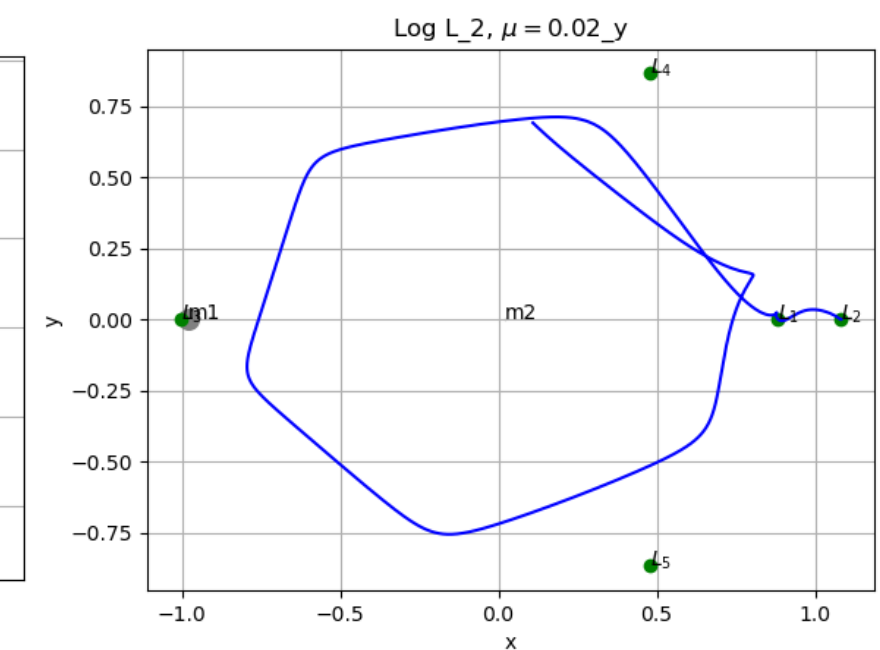
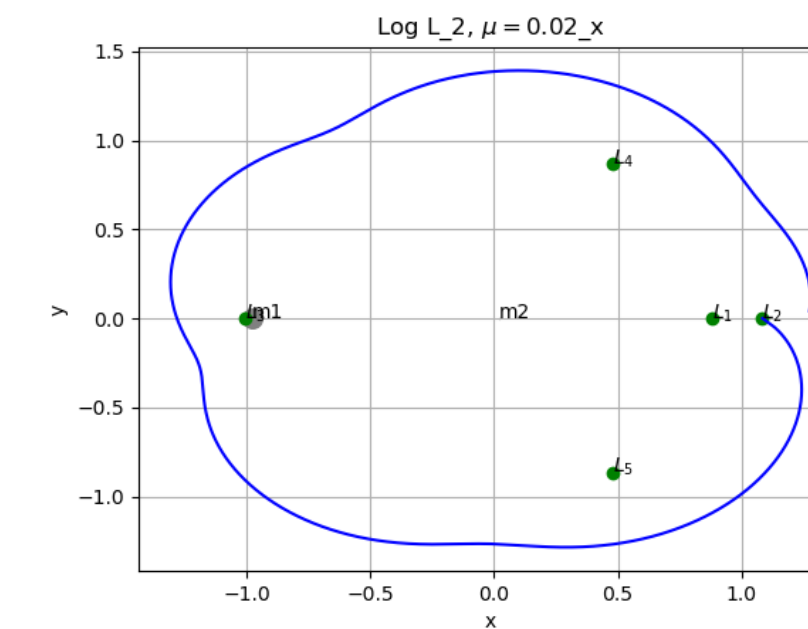
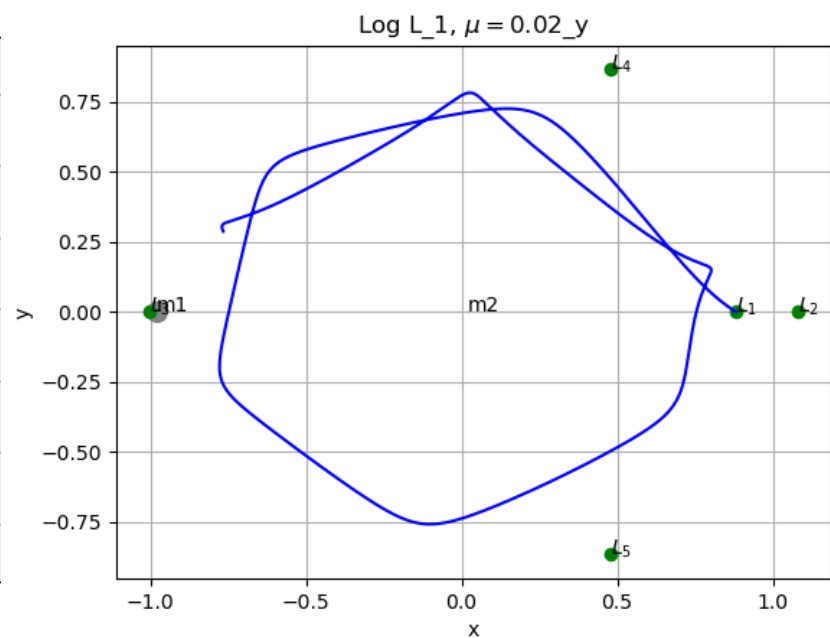
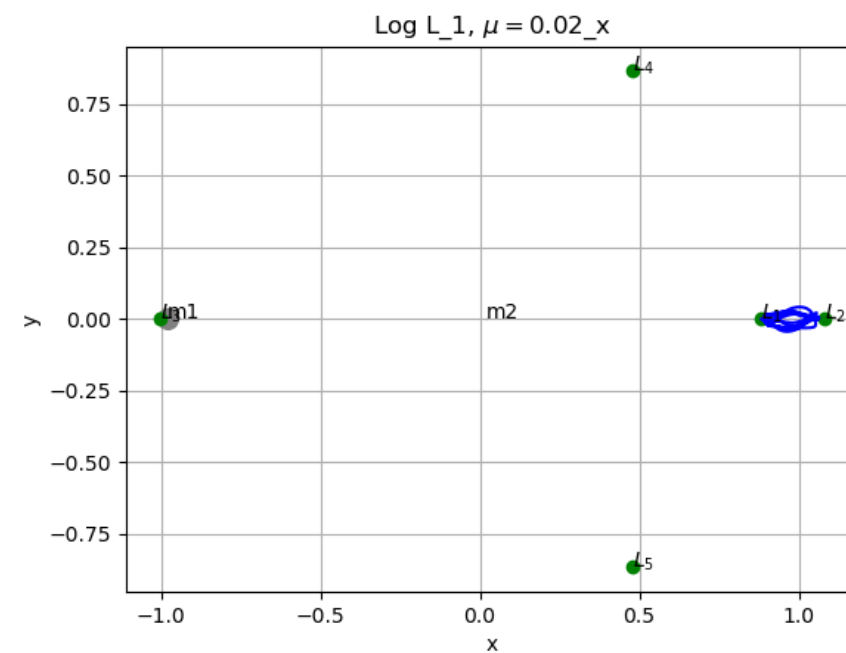
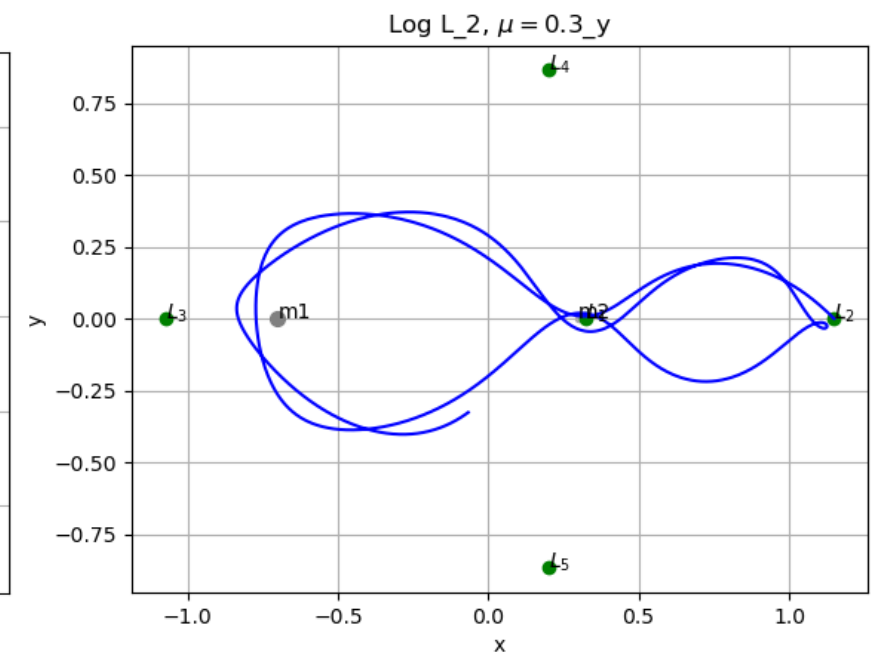
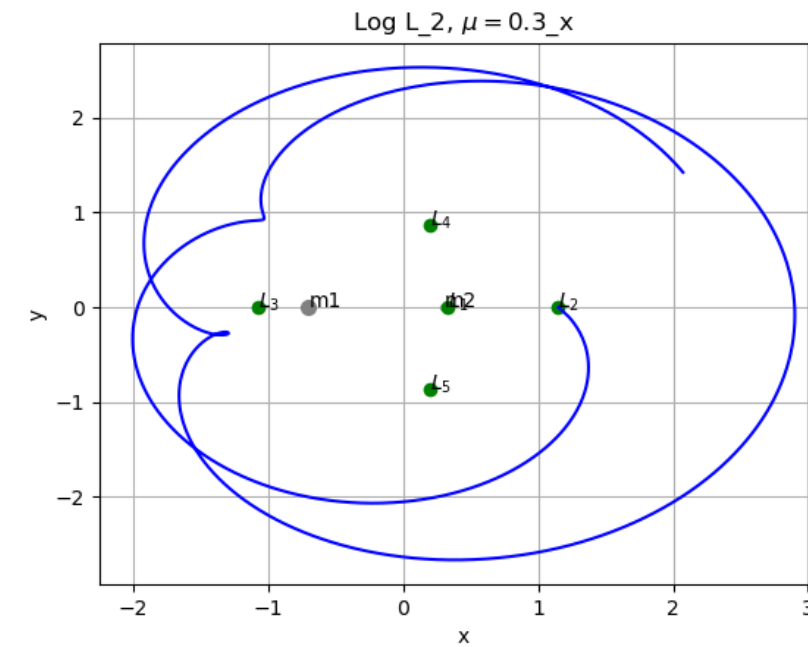
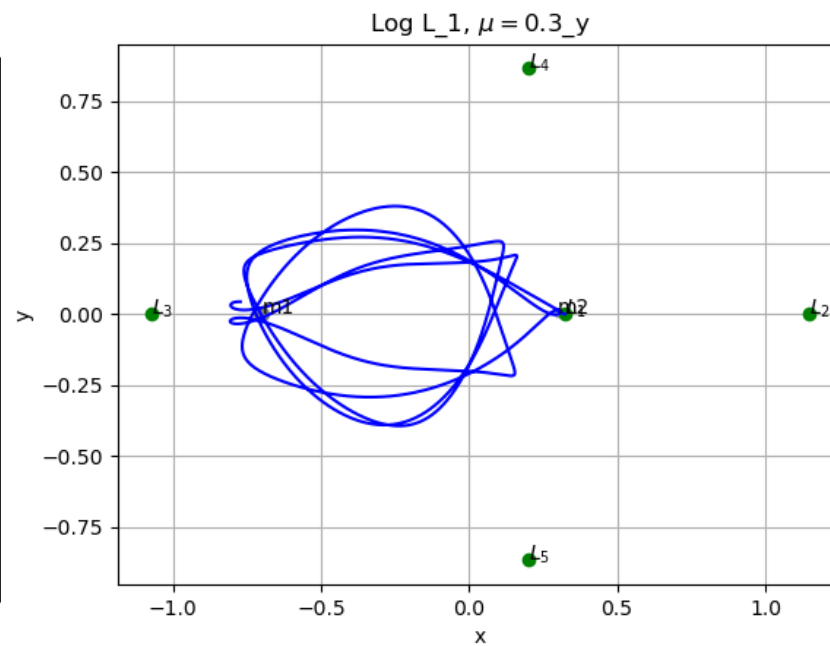
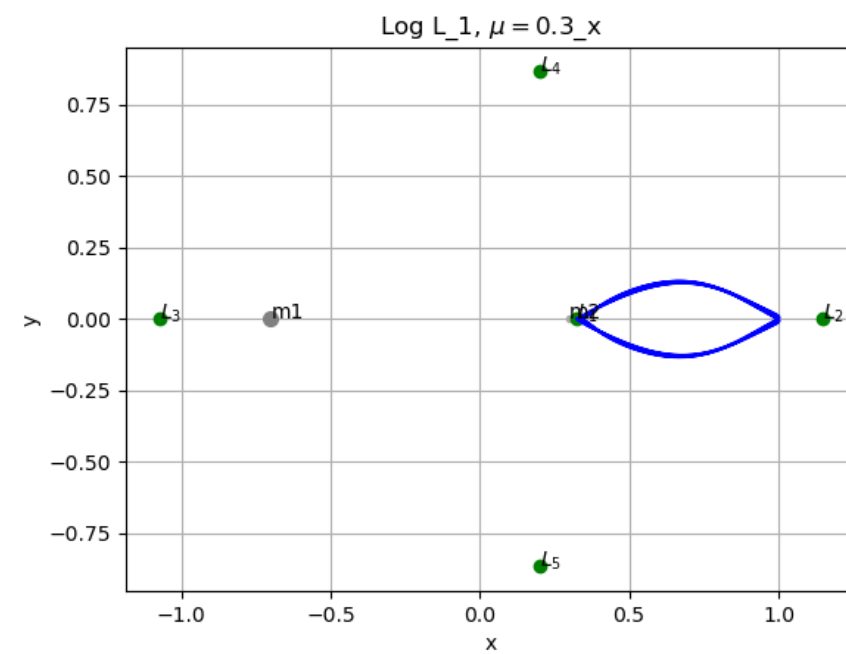
05 - Resultados

Simulación Potencial Clásico



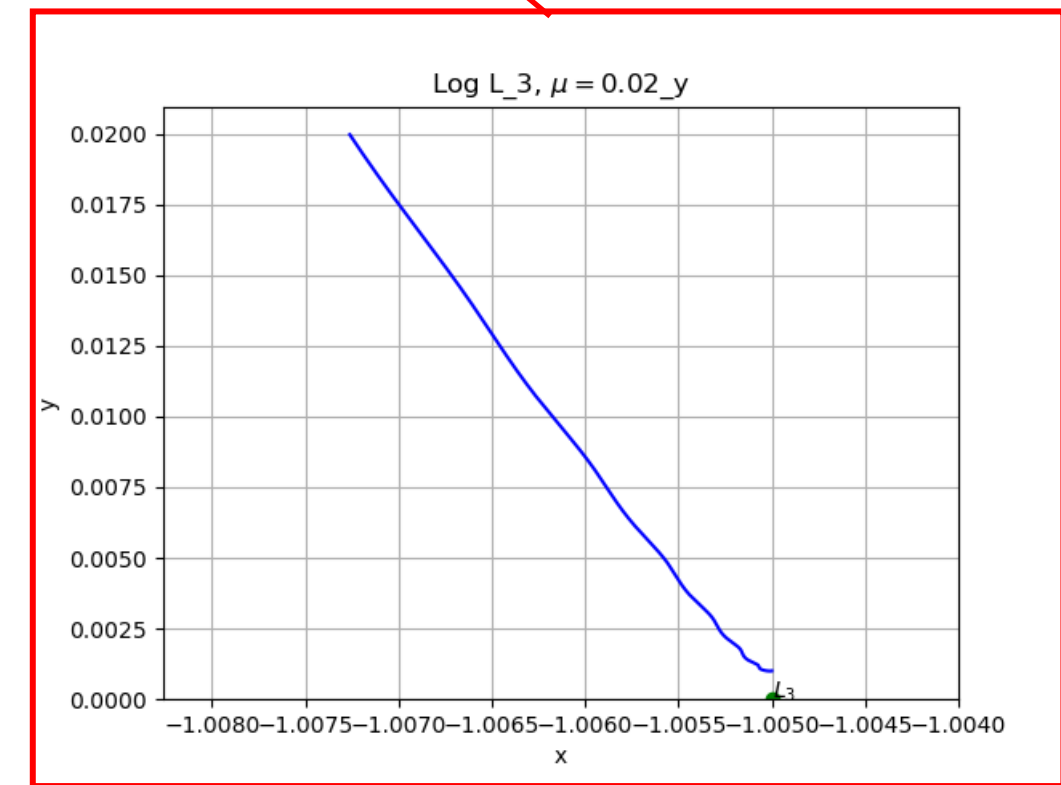
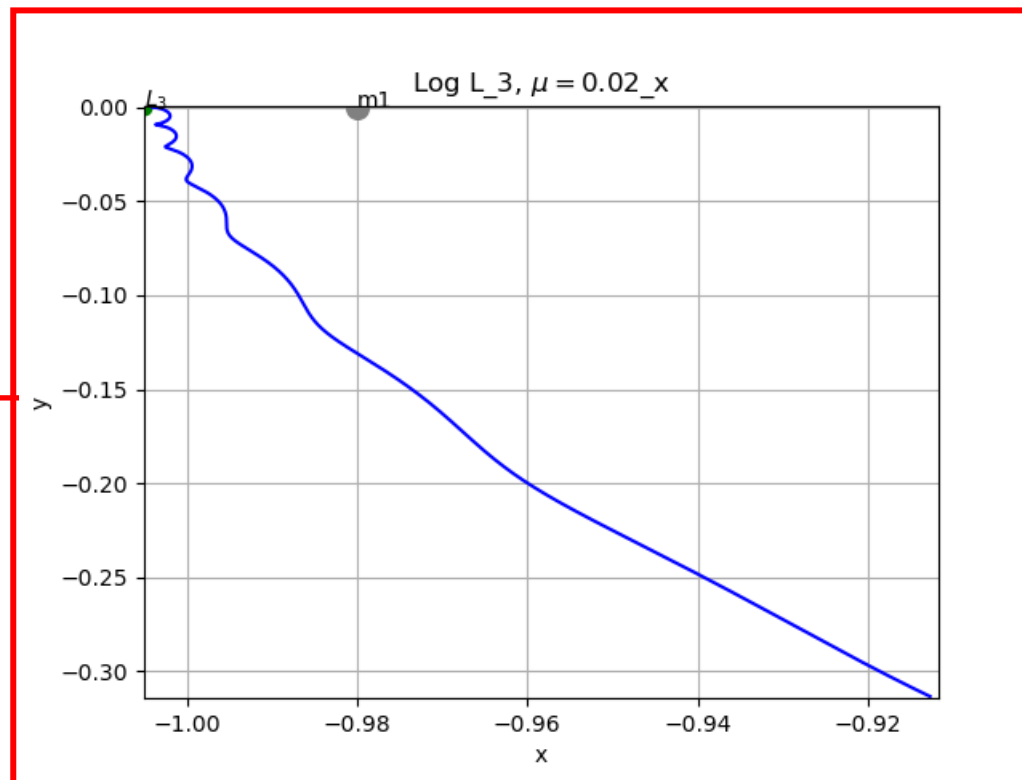
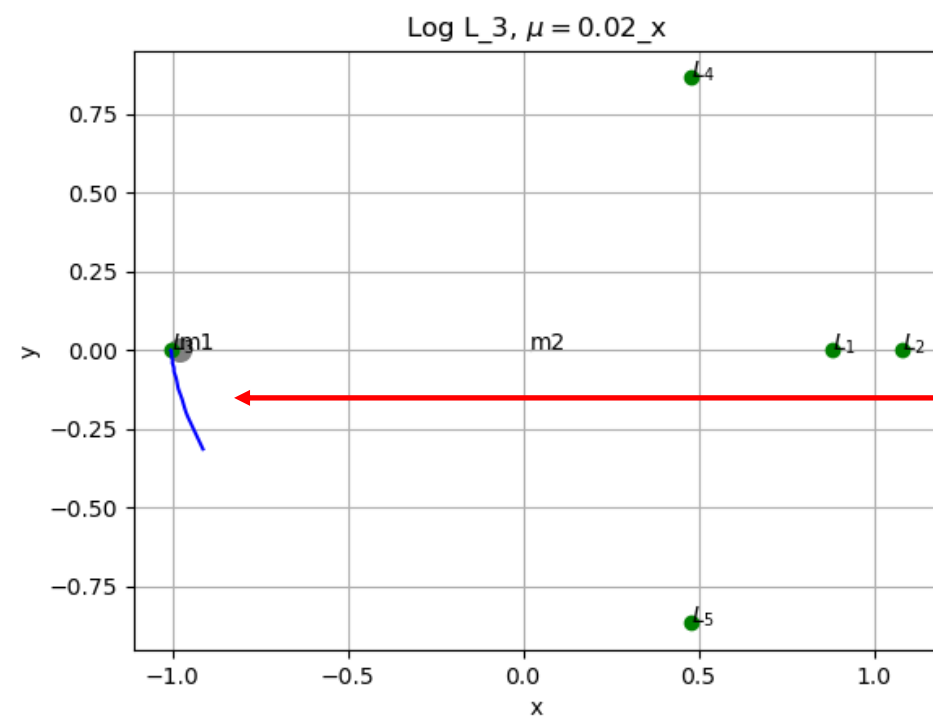
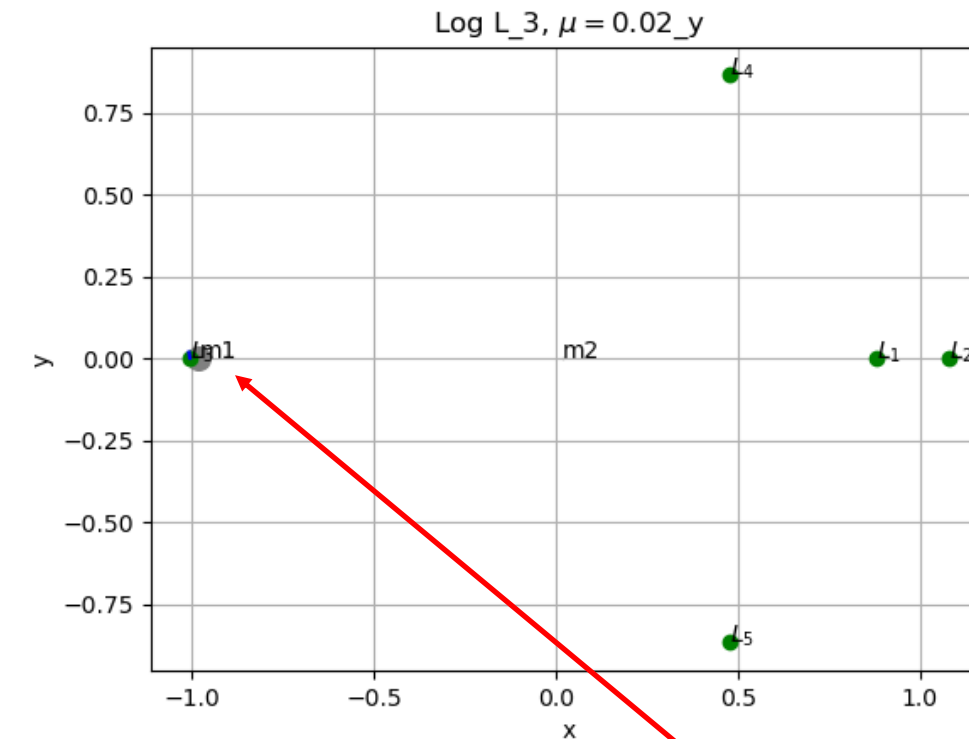
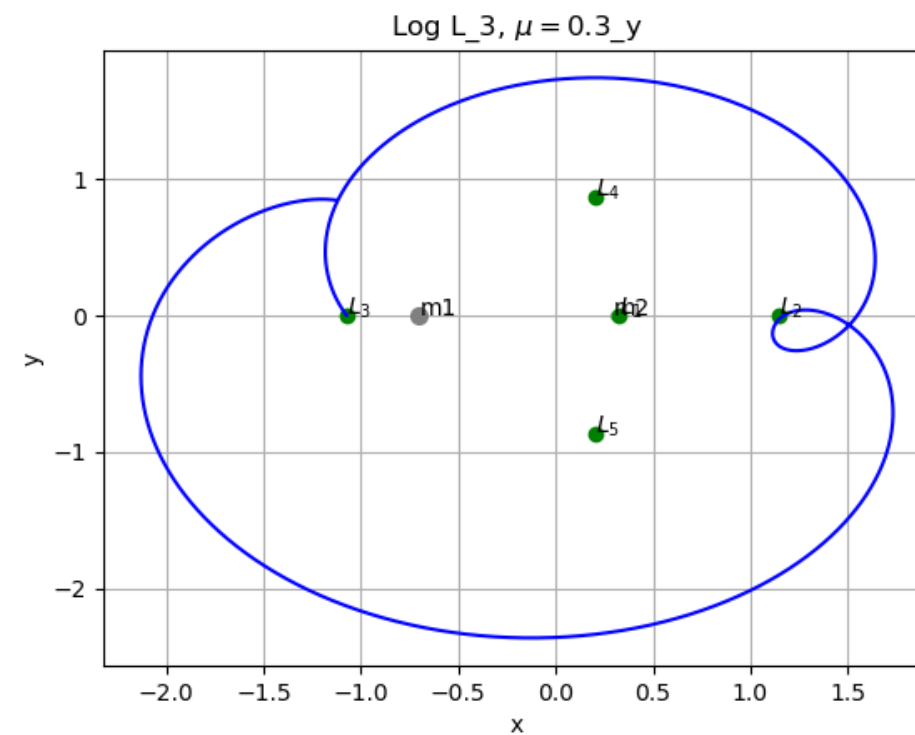
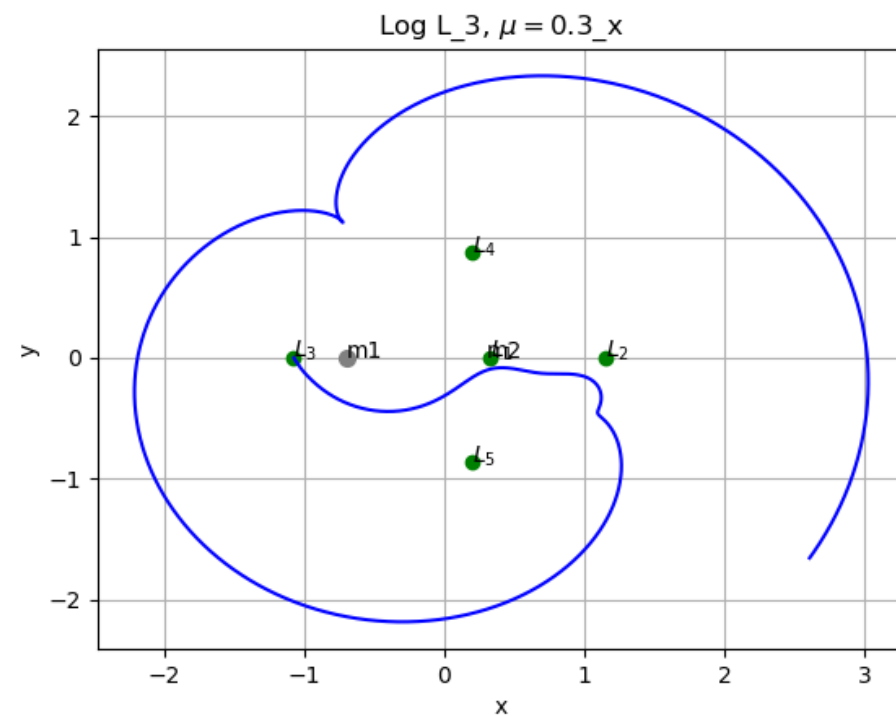
05 - Resultados

Simulación Potencial Logarítmico



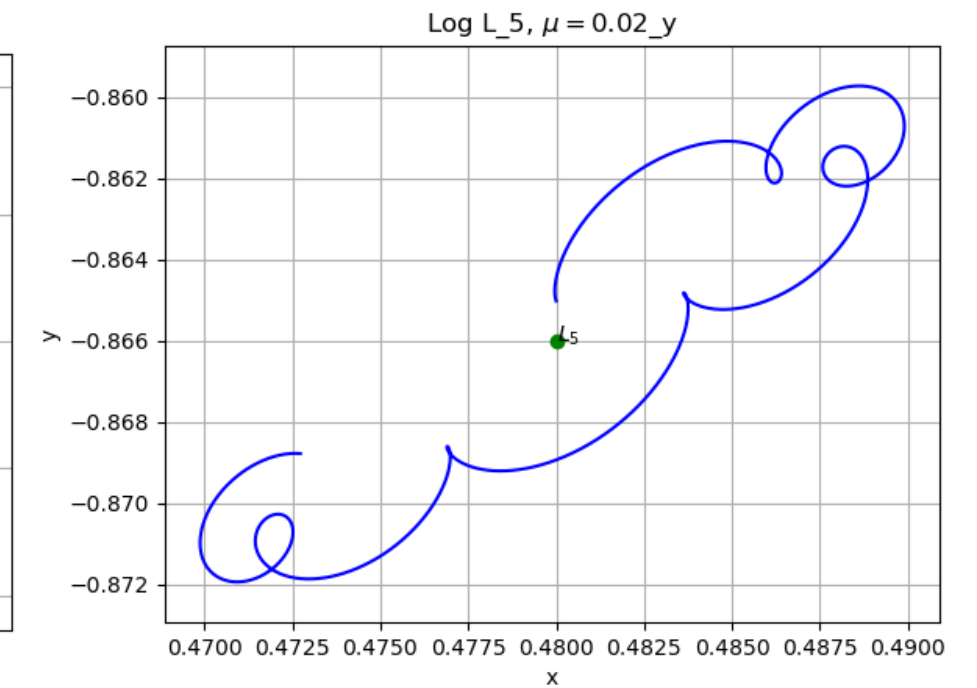
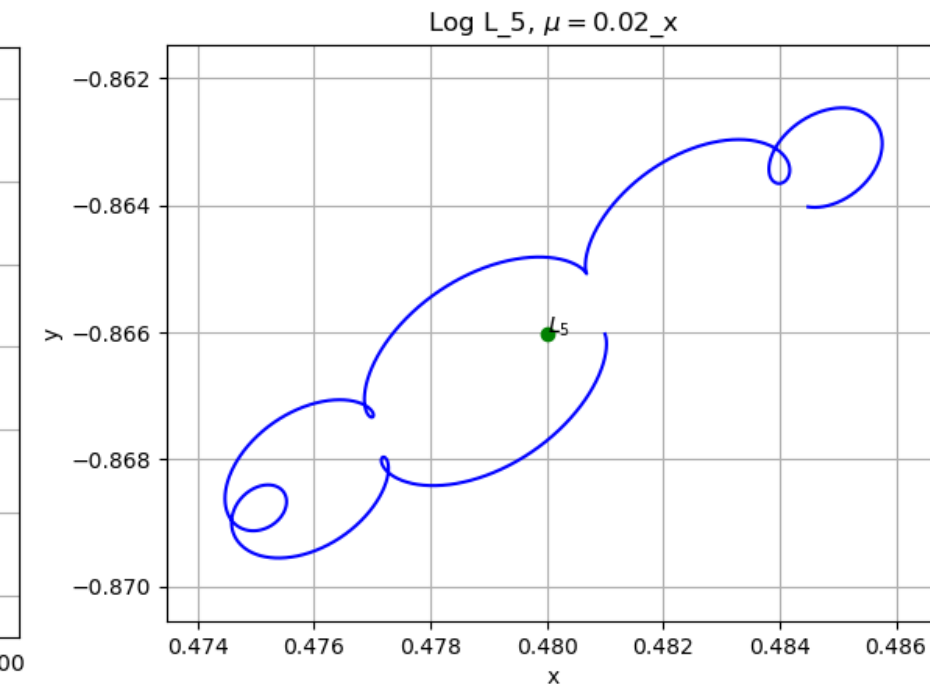
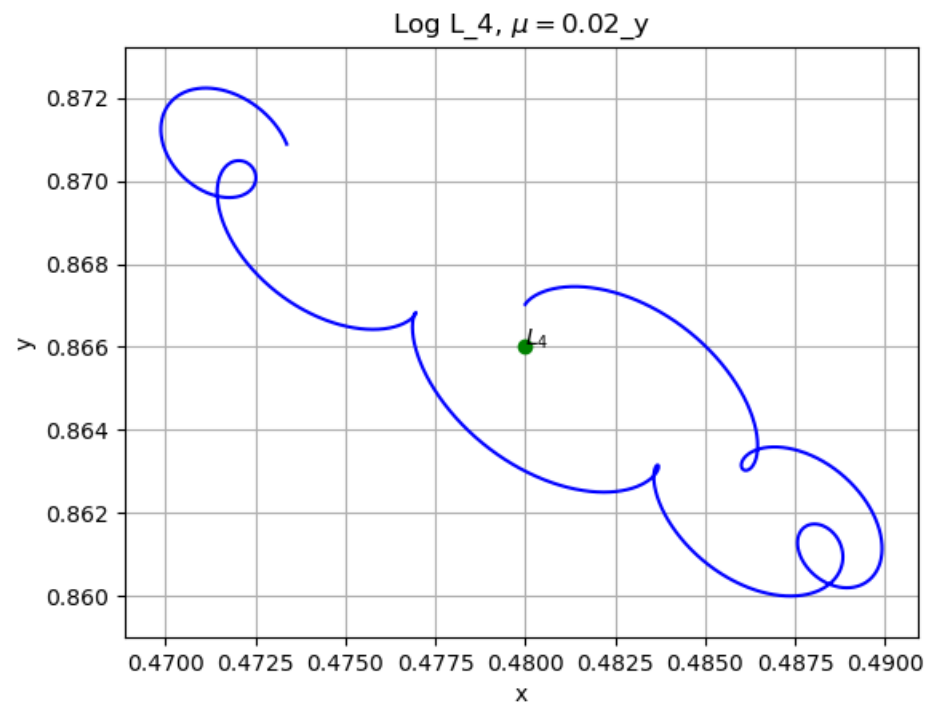
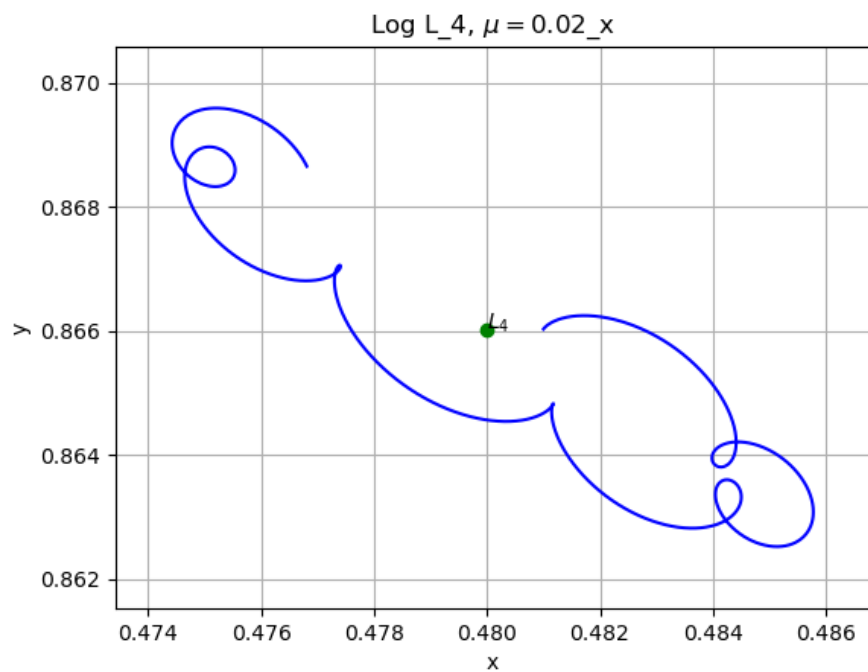
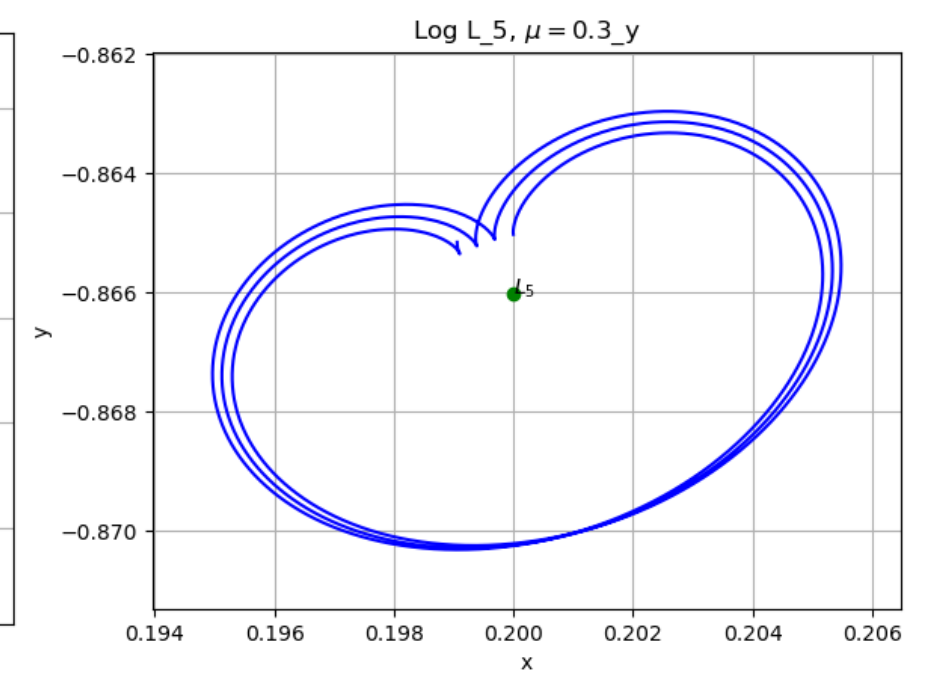
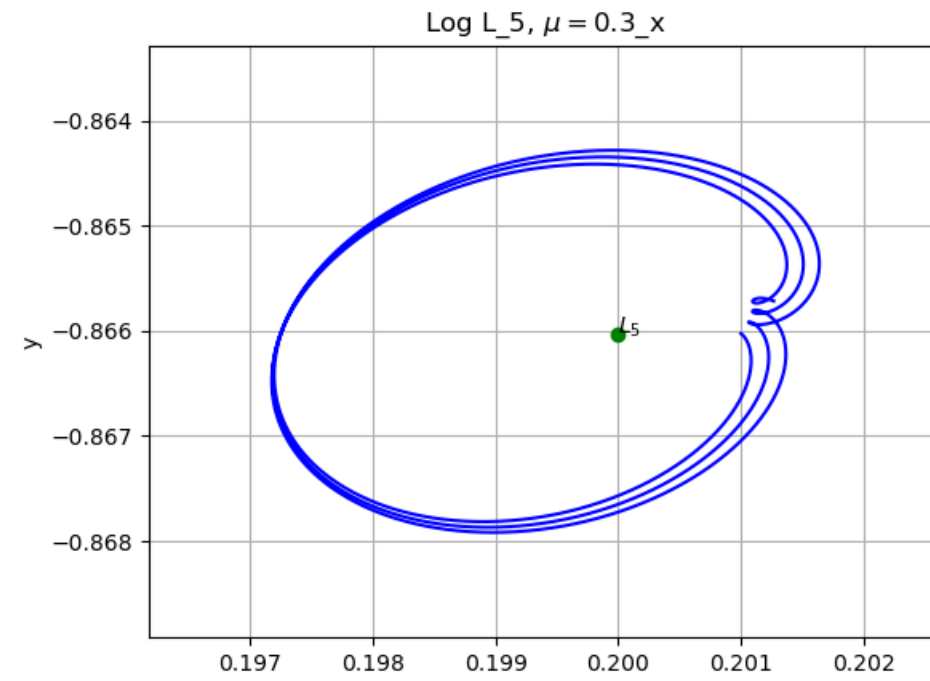
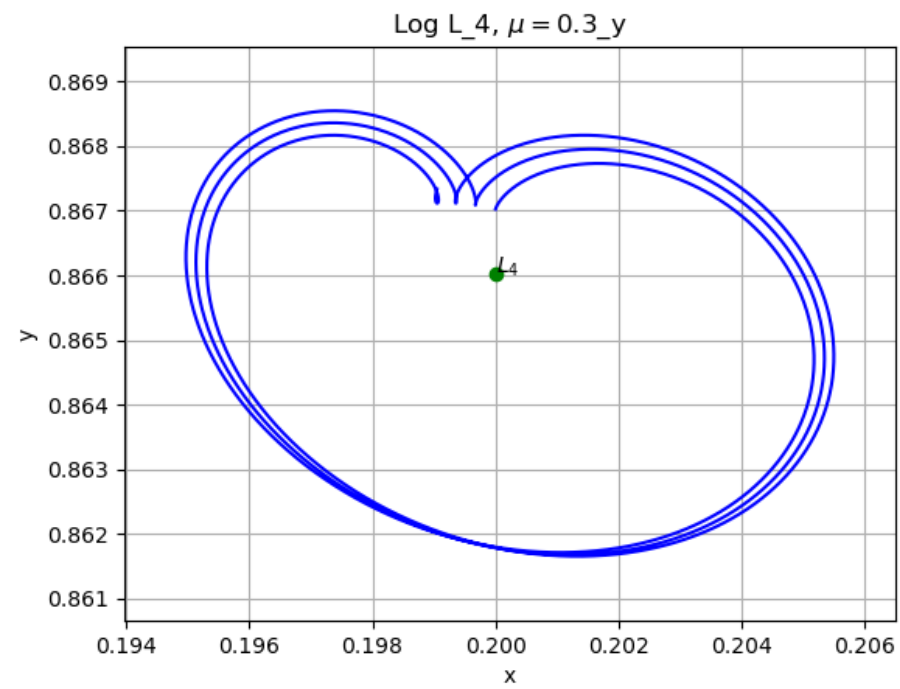
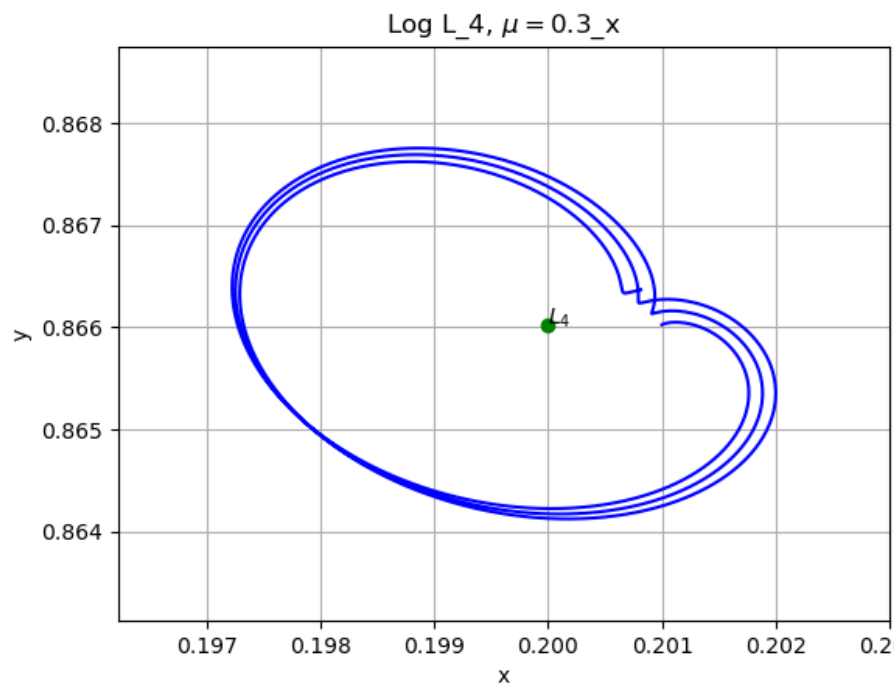
05 - Resultados

Simulación Potencial Logarítmico



05 - Resultados

Simulación Potencial Logarítmico



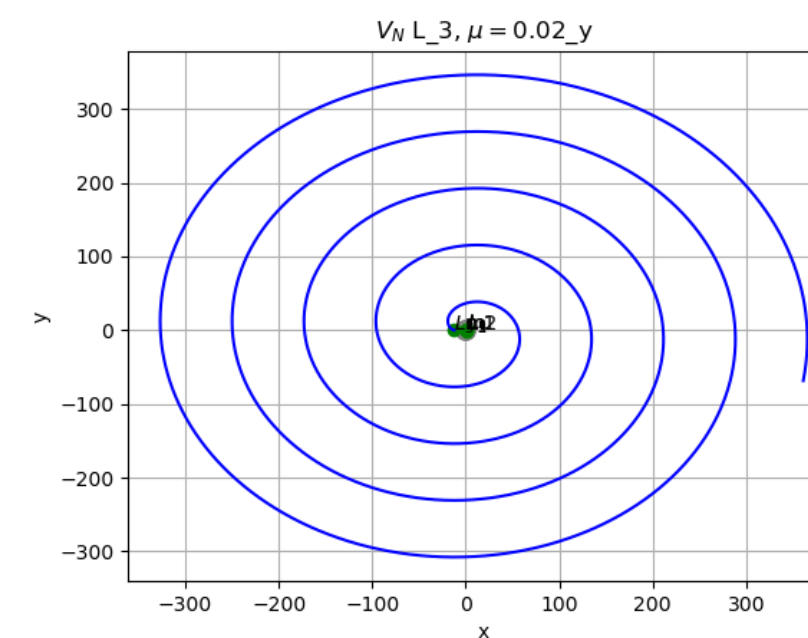
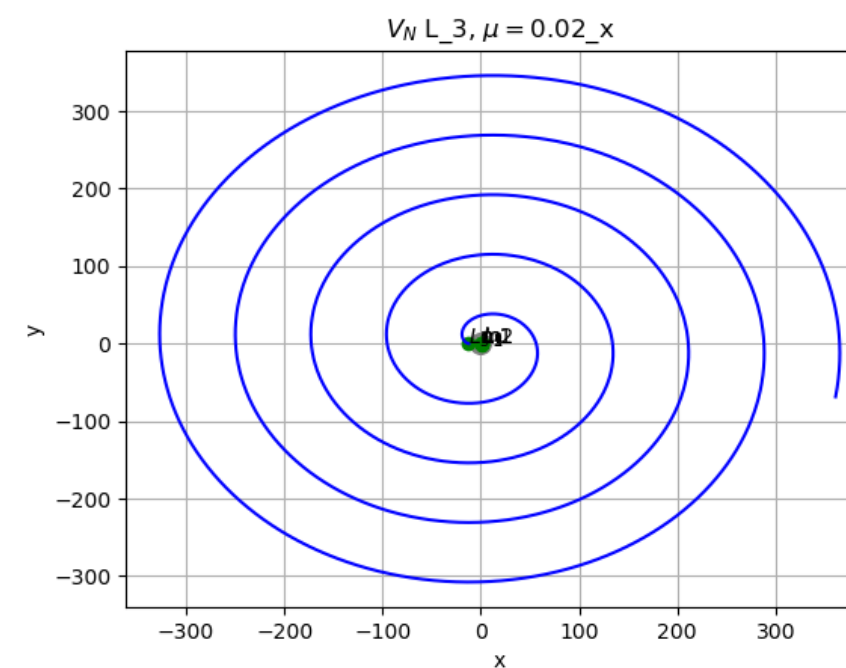
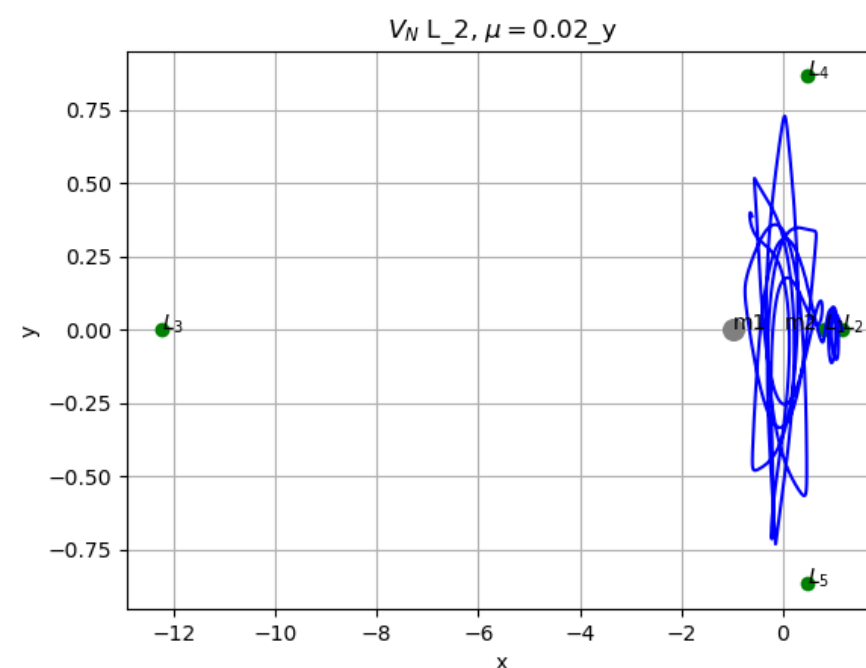
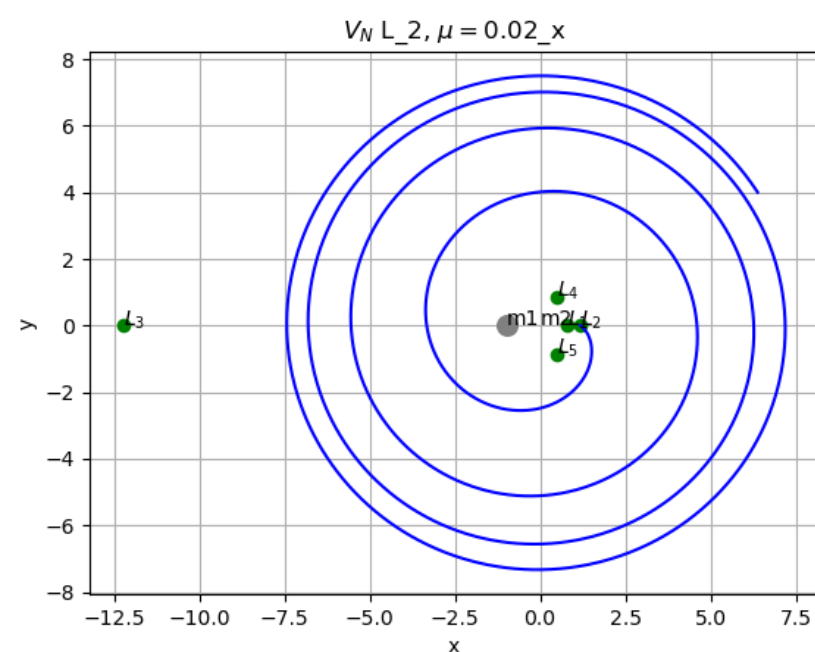
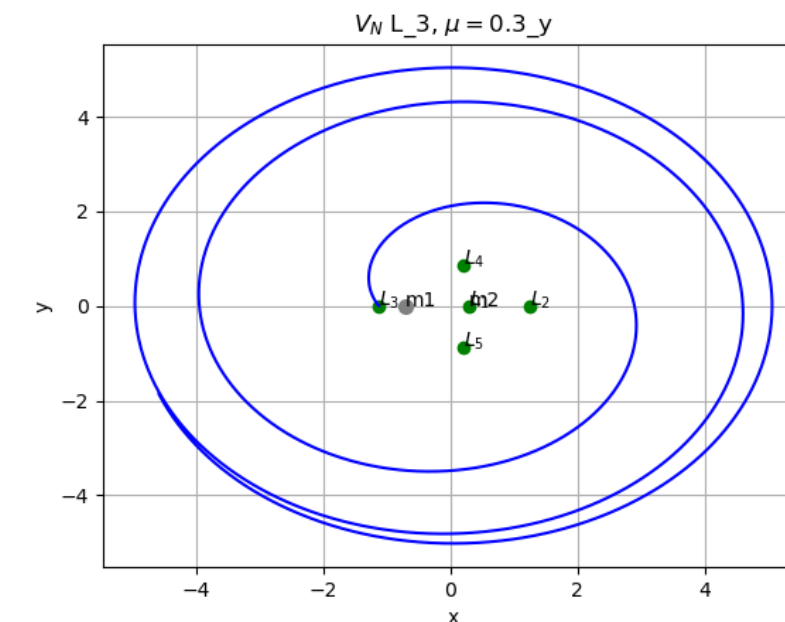
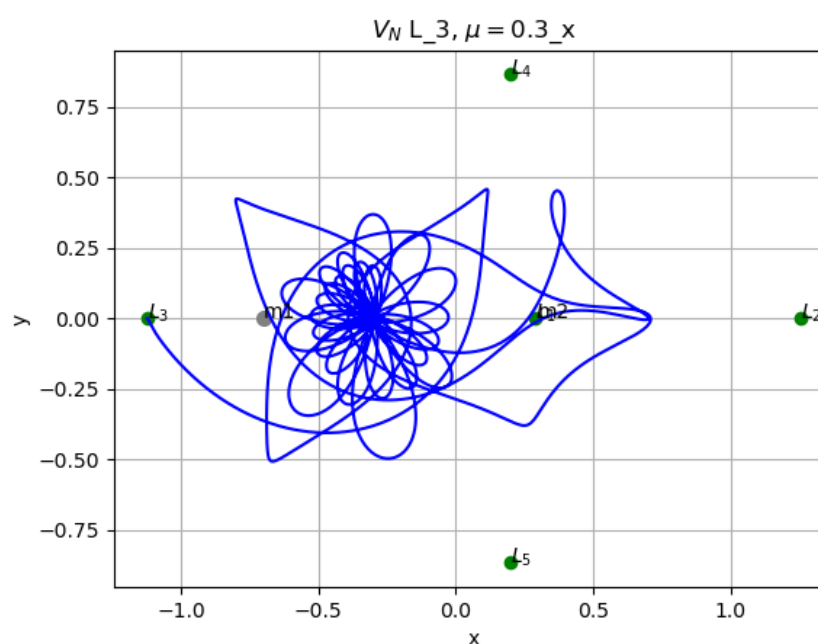
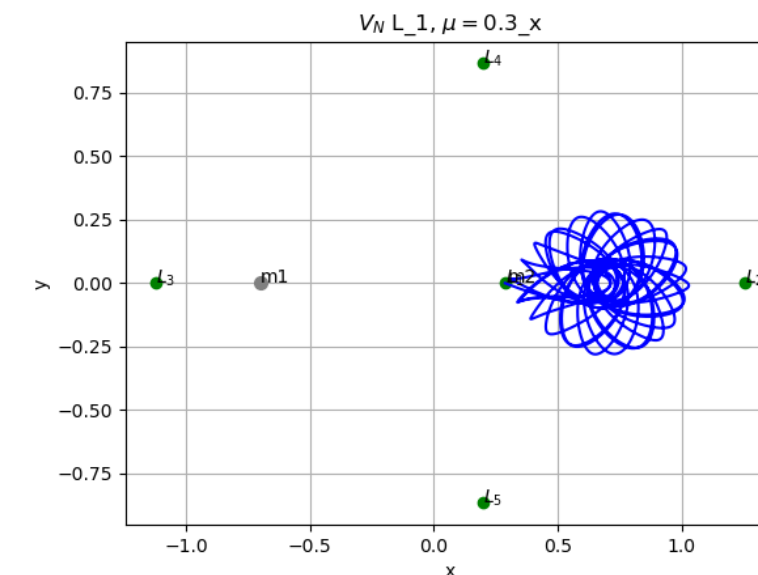
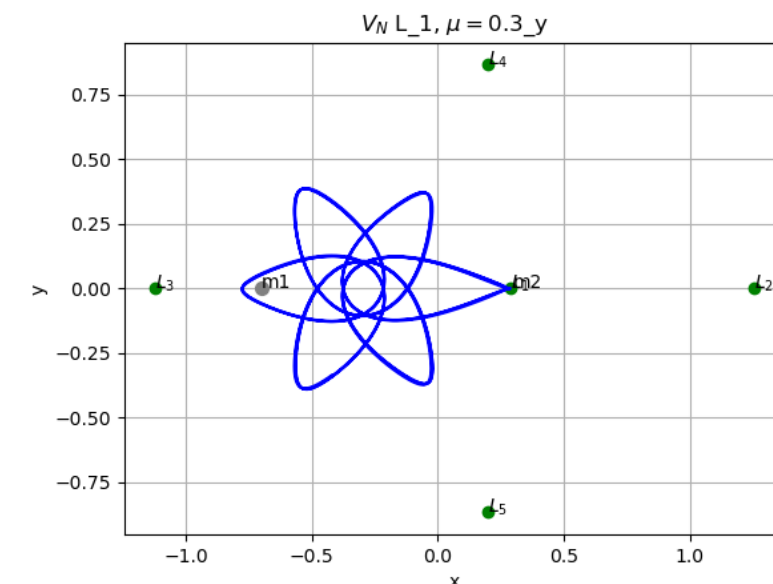
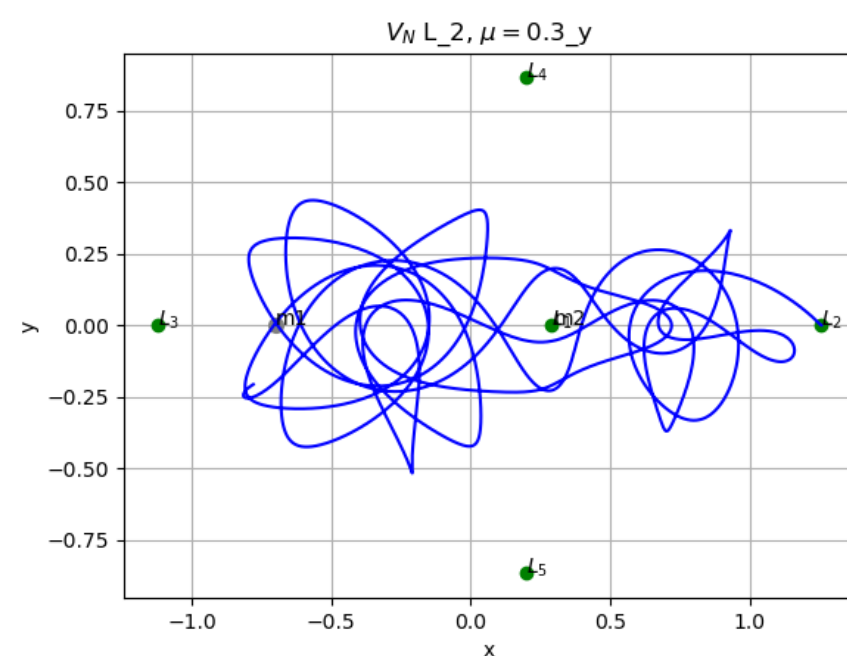
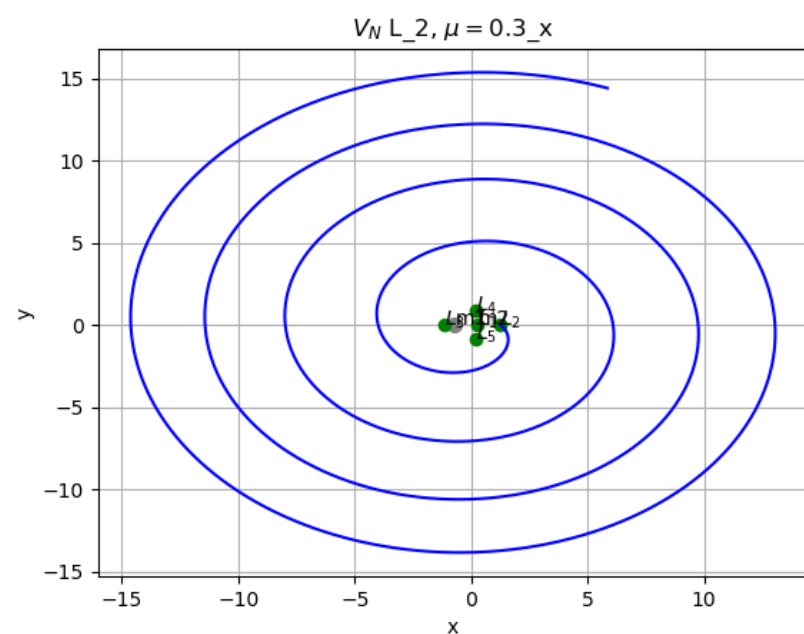
06 - Conclusiones y trabajo futuro

Problema CR3BP mediante potenciales clásico y logarítmico

- Se ha estudiado la estabilidad dentro de los potenciales.
- En cuanto a la **estabilidad**:
 - **Modelo clásico**: Cuenta con un comportamiento más **divergente e inestable**. Excepto en la condición de $\mu < 0.038$.
 - **Modelo logarítmico**: Cuenta con **órbitas más acotadas y puntos estables** dentro de más opciones de configuración del sistema.
- En **futuros trabajos** se pueden estudiar los **efectos numéricos** que podrían tener **otros métodos** matemáticos diferentes a RK, con que el se ha hecho este estudio. También sería interesante comprobar algunas configuraciones en **busca de órbitas periódicas**.

「muchas gracias.」

Resultados Simulación Potencial Clásico



Desarrollo*

Ecuaciones dinámicas

Potencial clásico:

$$\begin{aligned}\ddot{x} &= x + 2 \dot{y} - \frac{(1-\mu)(x+\mu)}{\sqrt{(x+\mu)^2 + y^2 + z^2}^3} - \frac{\mu(x-(1-\mu))}{\sqrt{(x-(1-\mu))^2 + y^2 + z^2}^3} \\ \ddot{y} &= y + 2 \dot{x} - \frac{(1-\mu)y}{\sqrt{(x+\mu)^2 + y^2 + z^2}^3} - \frac{\mu y}{\sqrt{(x-(1-\mu))^2 + y^2 + z^2}^3} \\ \ddot{z} &= - \frac{(1-\mu)z}{\sqrt{(x+\mu)^2 + y^2 + z^2}^3} - \frac{\mu z}{\sqrt{(x-(1-\mu))^2 + y^2 + z^2}^3}\end{aligned}$$

Potencial logarítmico:

$$\begin{aligned}\ddot{x} &= x + 2 \dot{y} - \frac{(1-\mu)(x+\mu)}{(x+\mu)^2 + y^2 + z^2} - \frac{\mu(x-(1-\mu))}{(x-(1-\mu))^2 + y^2 + z^2} \\ \ddot{y} &= y + 2 \dot{x} - \frac{(1-\mu)y}{(x+\mu)^2 + y^2 + z^2} - \frac{\mu y}{(x-(1-\mu))^2 + y^2 + z^2} \\ \ddot{z} &= - \frac{(1-\mu)z}{(x+\mu)^2 + y^2 + z^2} - \frac{\mu z}{(x-(1-\mu))^2 + y^2 + z^2}\end{aligned}$$